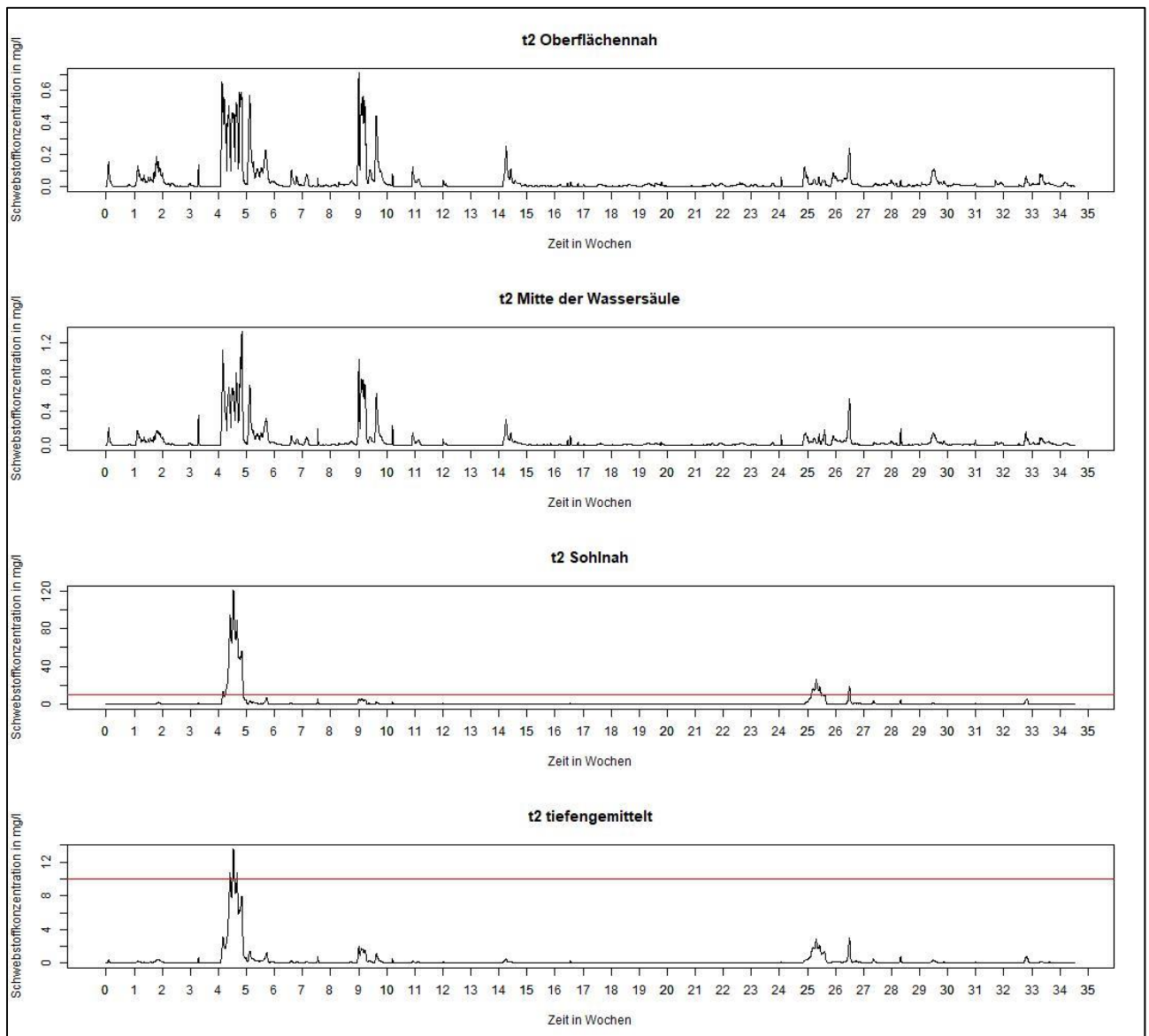
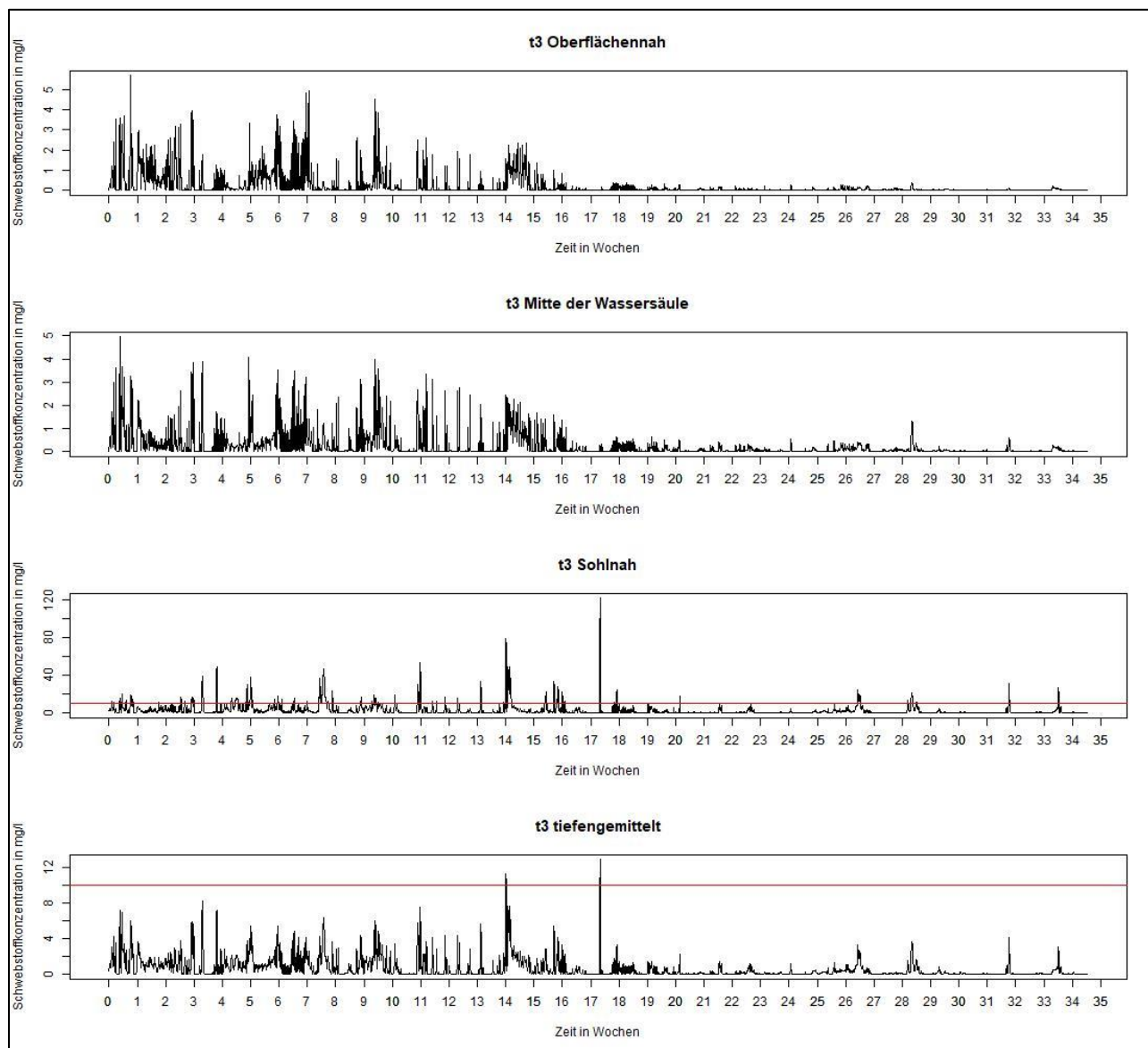


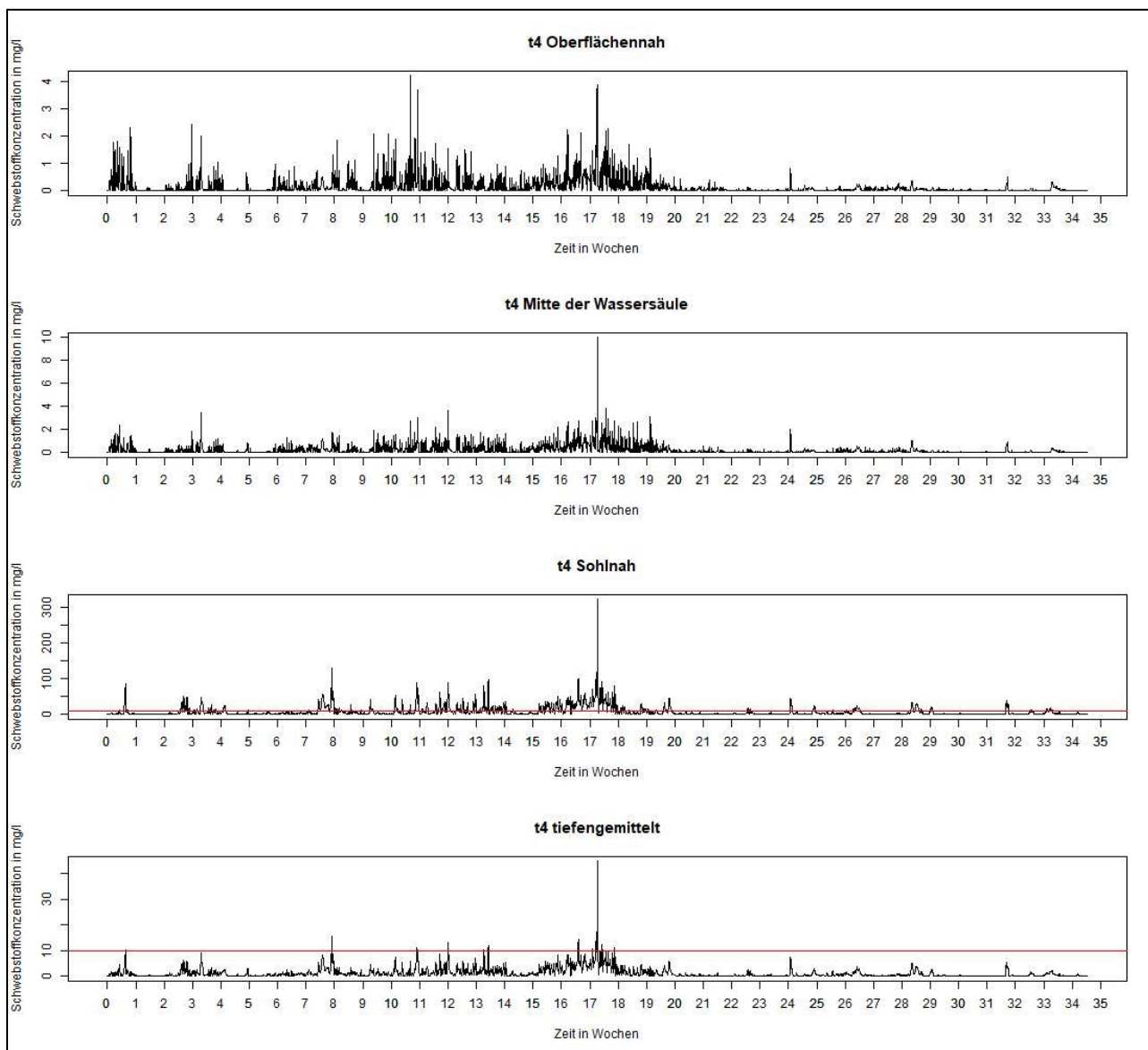
**Abbildung 1: Zeitreihen der Schwebstoffkonzentrationen in mg/l am Beobachtungspunkt t1 während der Nassbaggerung im KWK Fehmarn Sund W aus (Unterlage 51.02)**



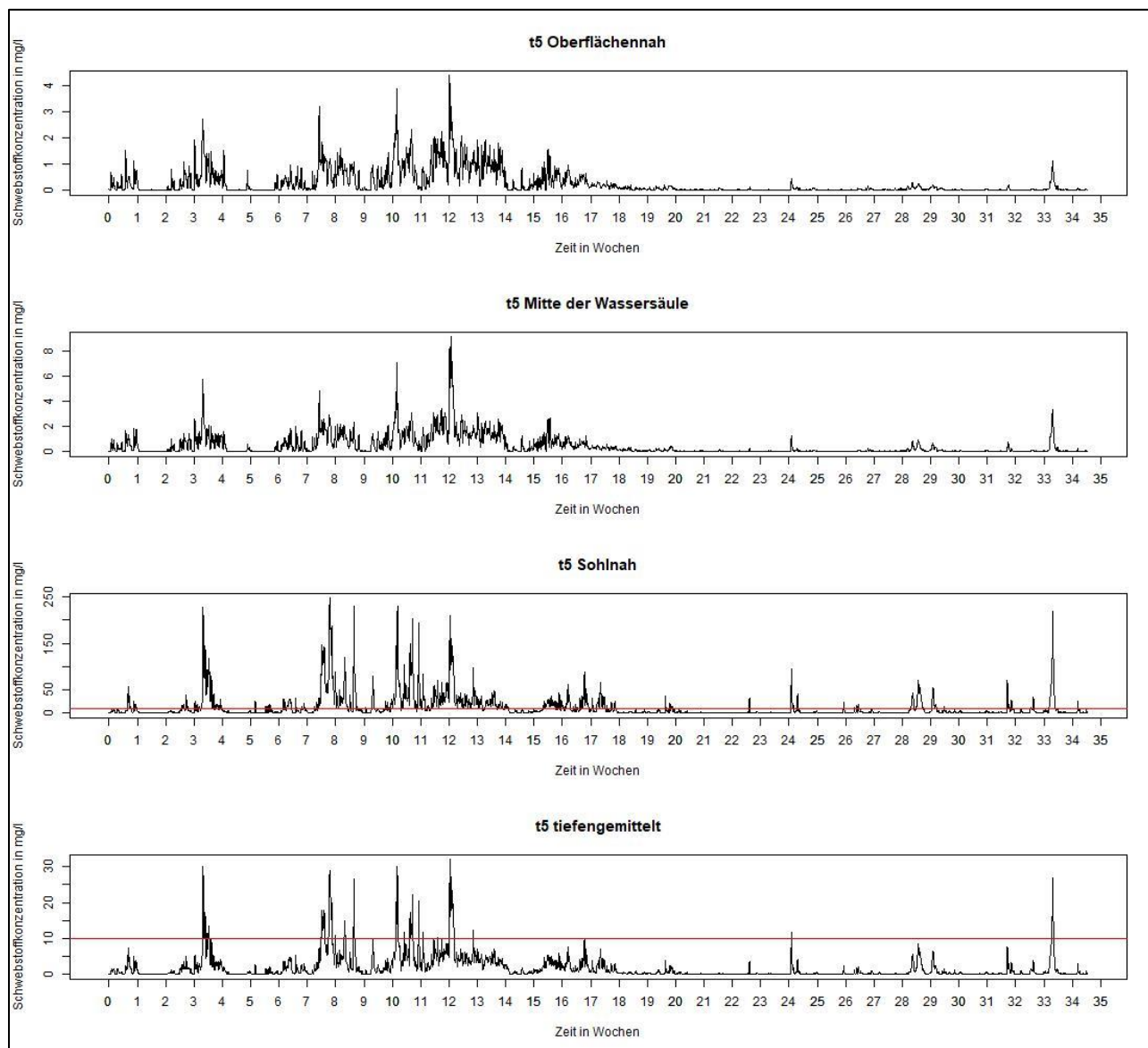
**Abbildung 2: Zeitreihen der Schwebstoffkonzentrationen in mg/l am Beobachtungspunkt t2 während der Nassbaggerung im KWK Fehmarn Sund W aus (Unterlage 51.02)**



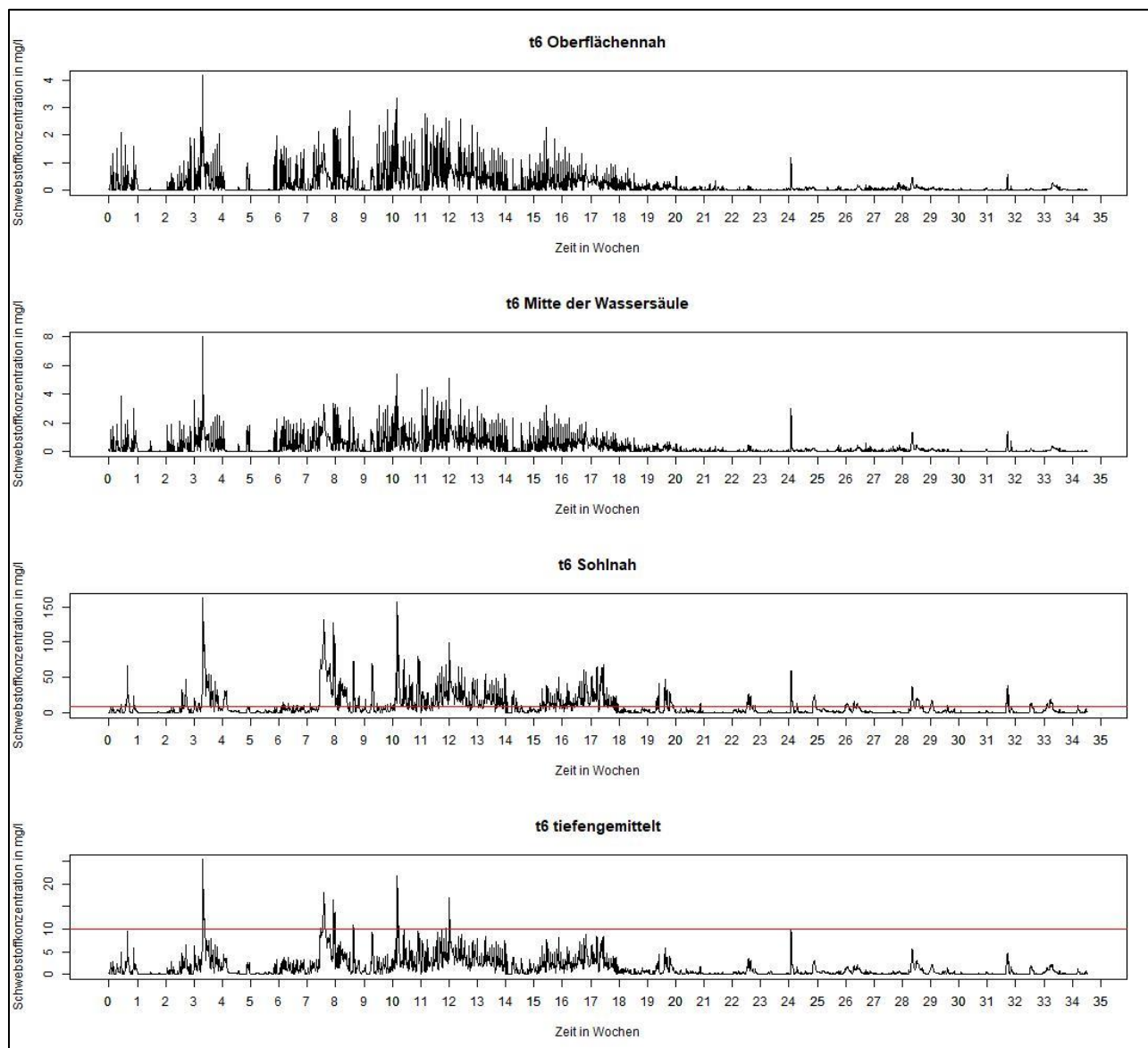
**Abbildung 3: Zeitreihen der Schwebstoffkonzentrationen in mg/l am Beobachtungspunkt t3 während der Nassbaggerung im KWK Fehmarn Sund W aus (Unterlage 51.02)**



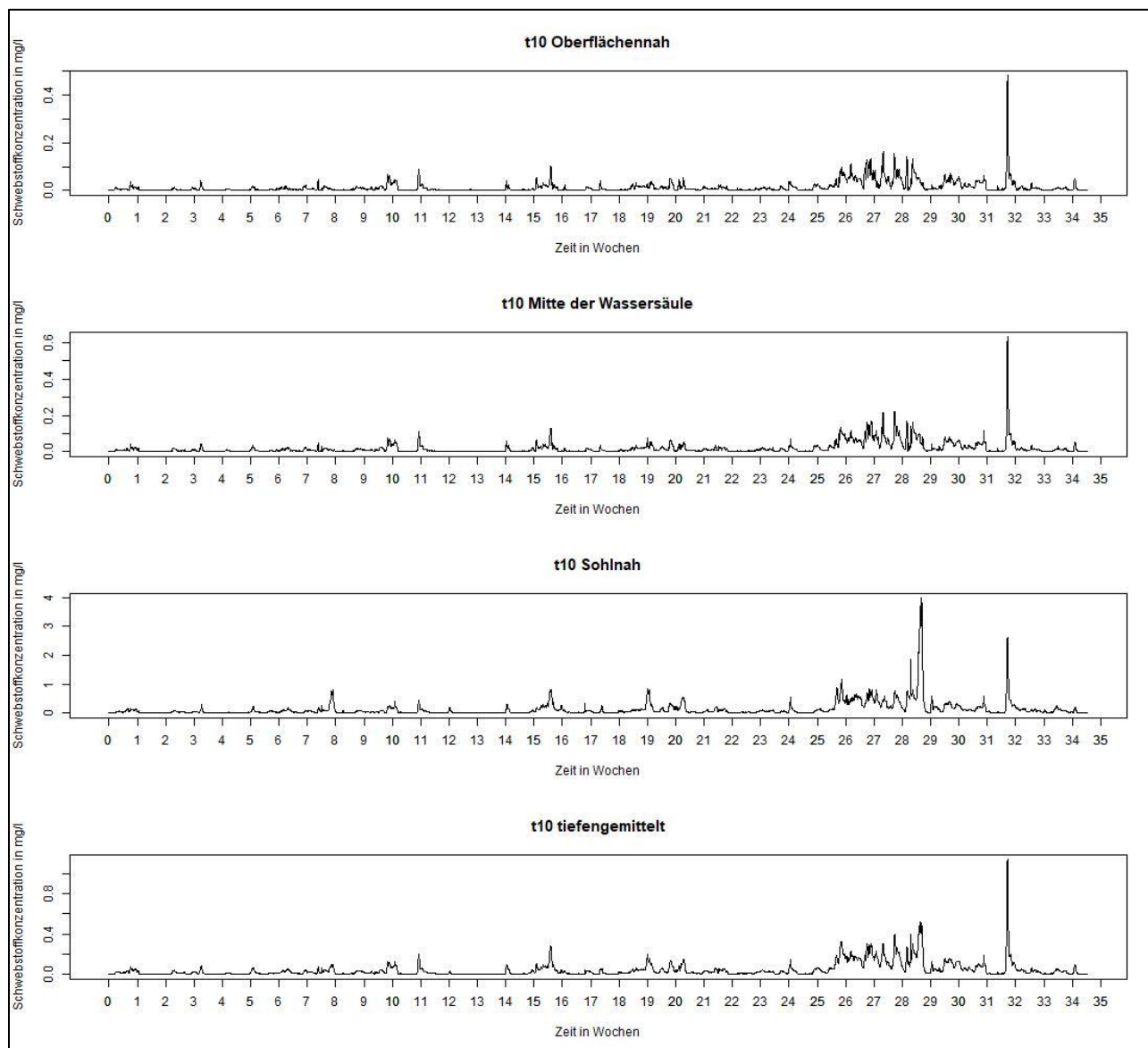
**Abbildung 4: Zeitreihen der Schwebstoffkonzentrationen in mg/l am Beobachtungspunkt t4 während der Nassbaggerung im KWK Fehmarn Sund W aus (Unterlage 51.02)**



**Abbildung 5: Zeitreihen der Schwebstoffkonzentrationen in mg/l am Beobachtungspunkt t5 während der Nassbaggerung im KWK Fehmarn Sund W aus (Unterlage 51.02)**

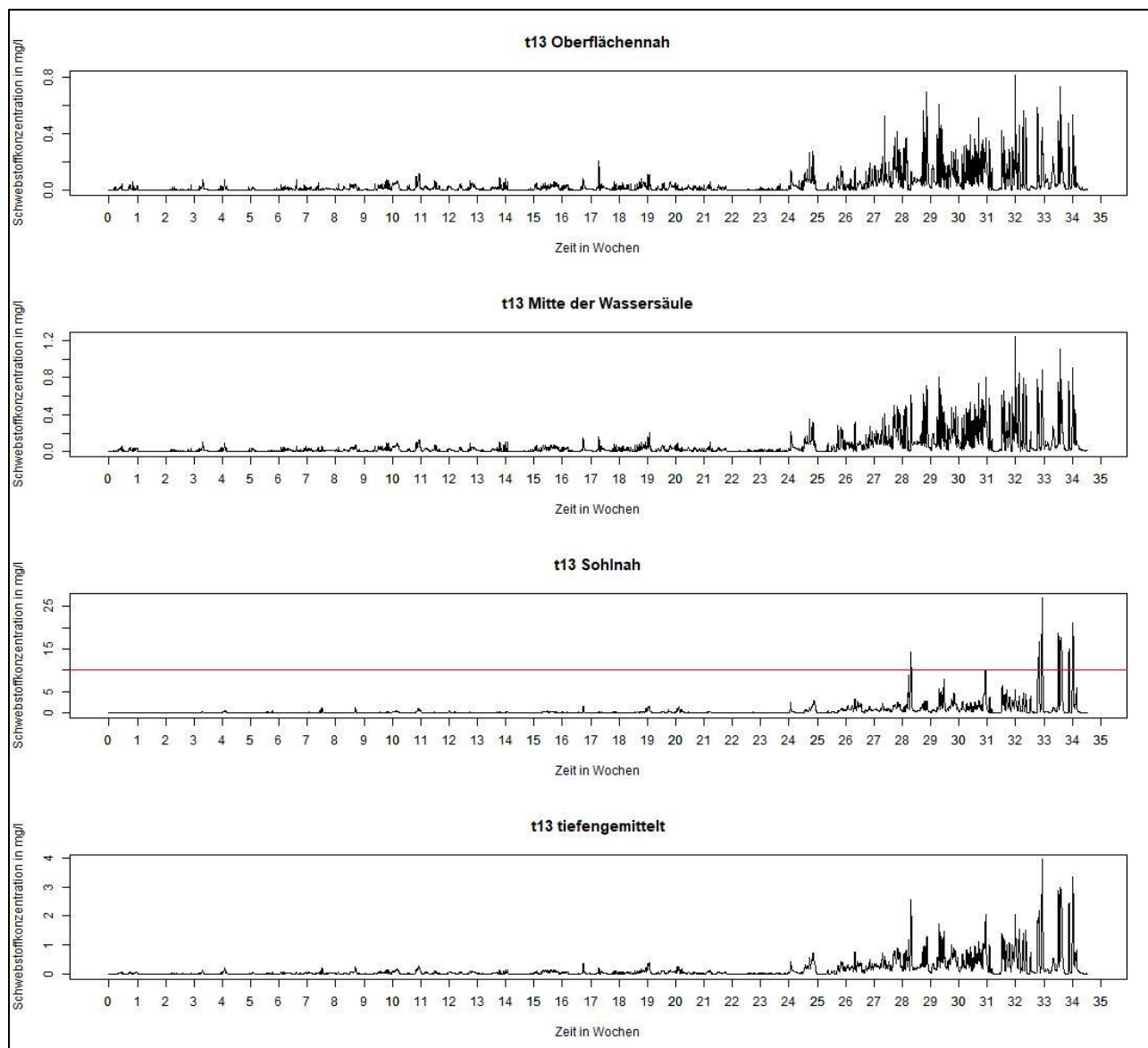


**Abbildung 6: Zeitreihen der Schwebstoffkonzentrationen in mg/l am Beobachtungspunkt t6 während der Nassbaggerung im KWK Fehmarn Sund W aus (Unterlage 51.02)**



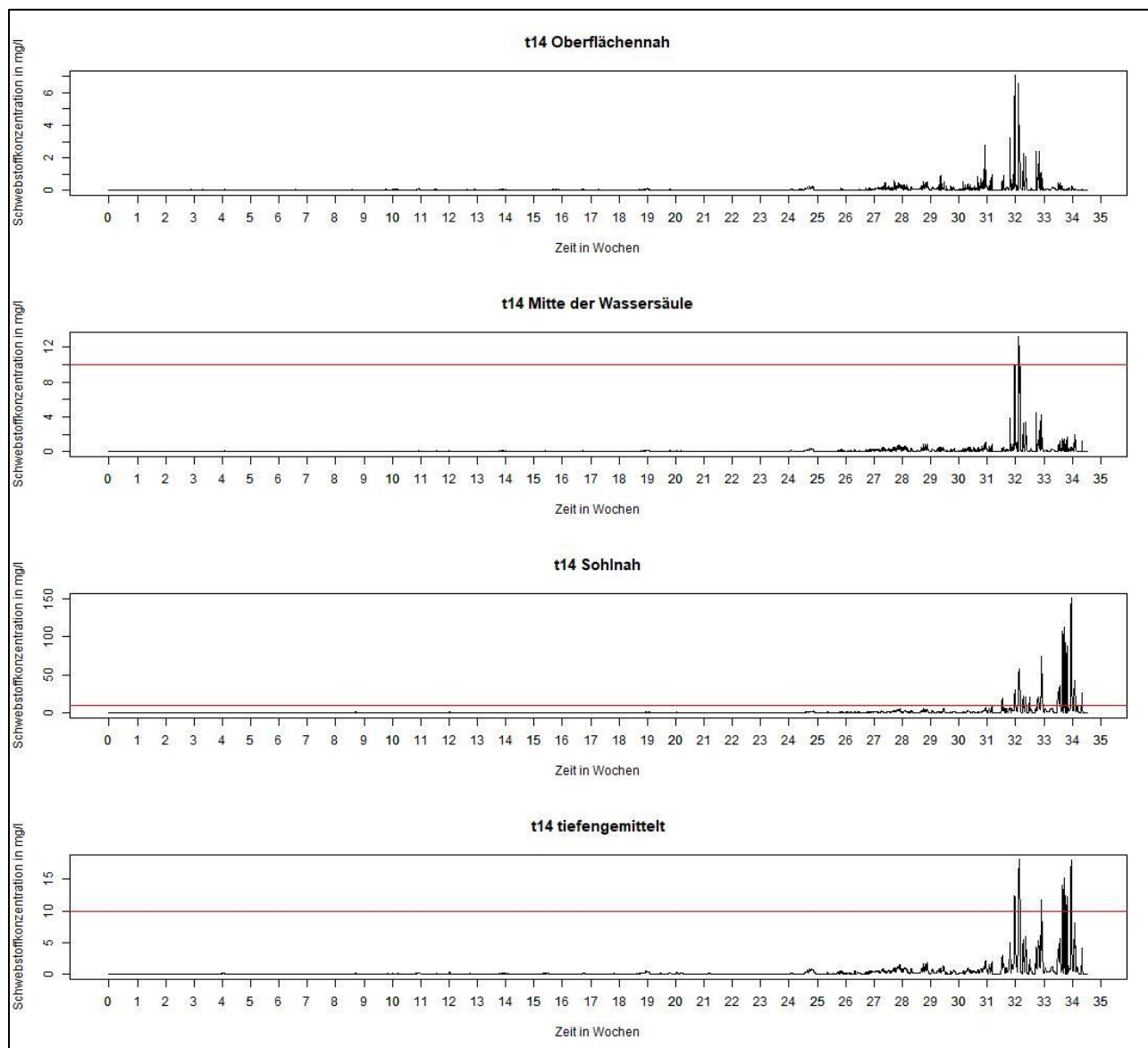
**Abbildung 7: Zeitreihen der Schwebstoffkonzentrationen in mg/l am Beobachtungspunkt t10 während der Nassbaggerung im KWK Fehmarn Sund W aus (Unterlage 51.02)**



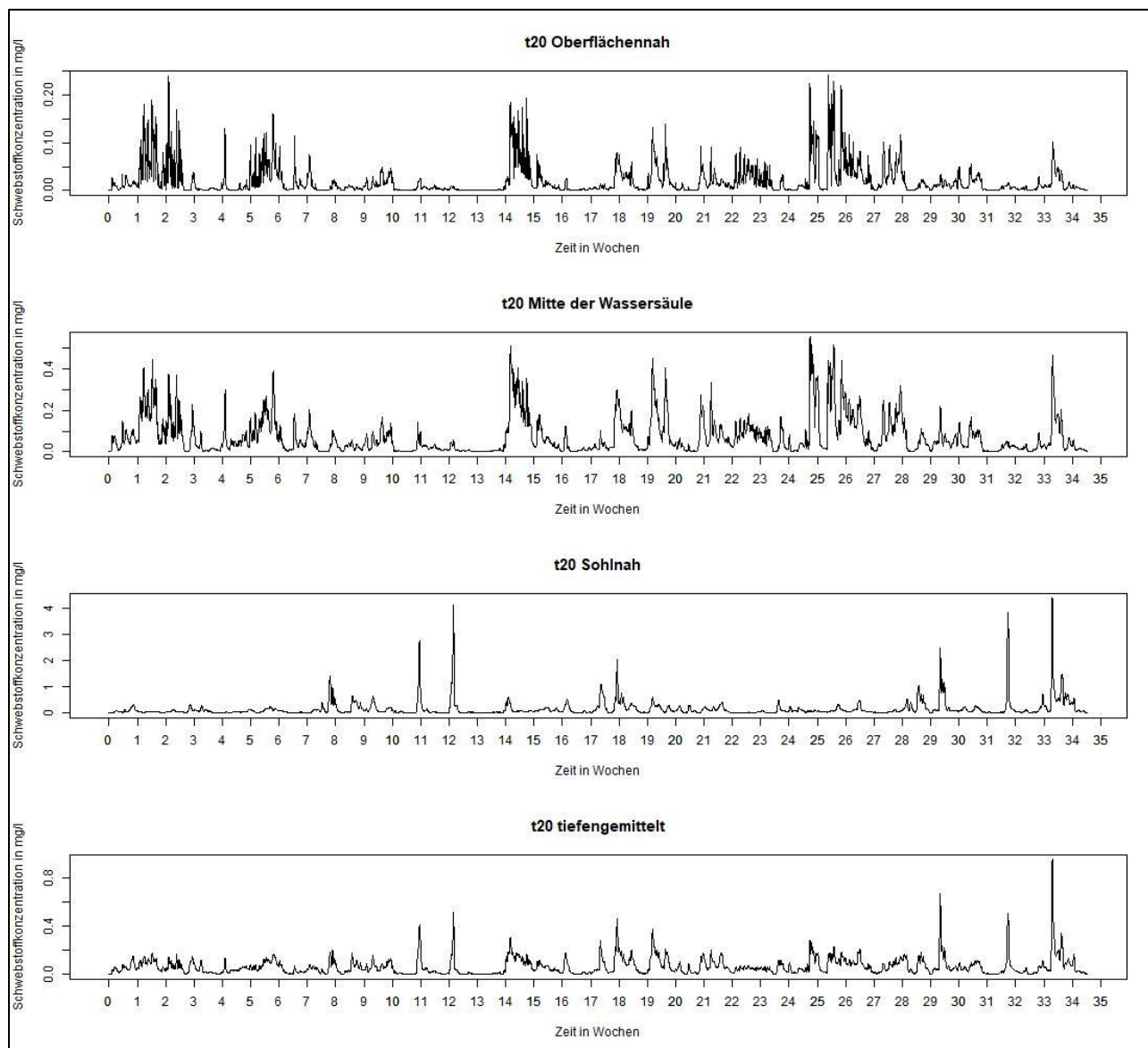


**Abbildung 8: Zeitreihen der Schwebstoffkonzentrationen in mg/l am Beobachtungspunkt t13 während der Nassbaggerung im KWK Fehmarn Sund W aus (Unterlage 51.02)**

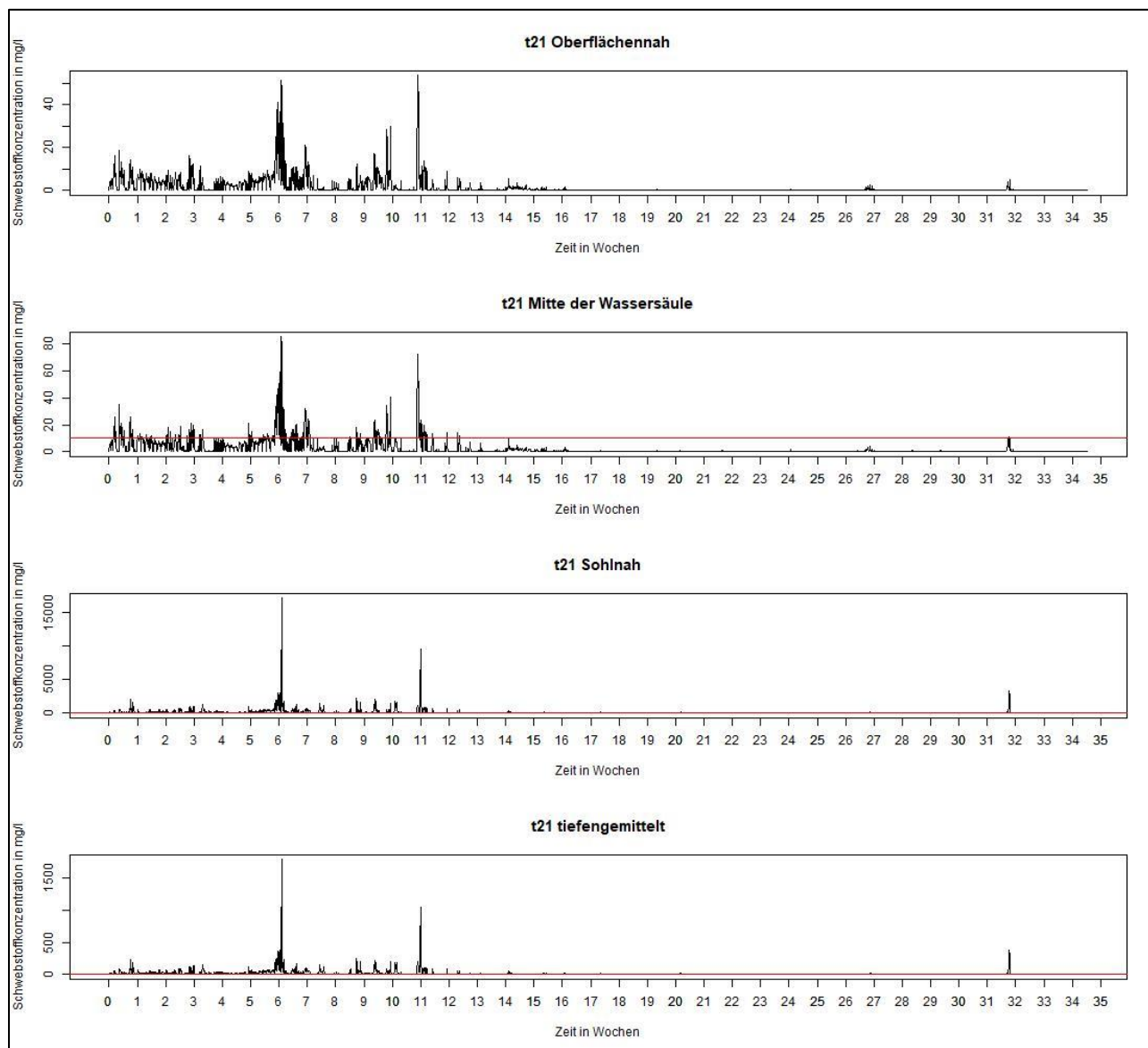




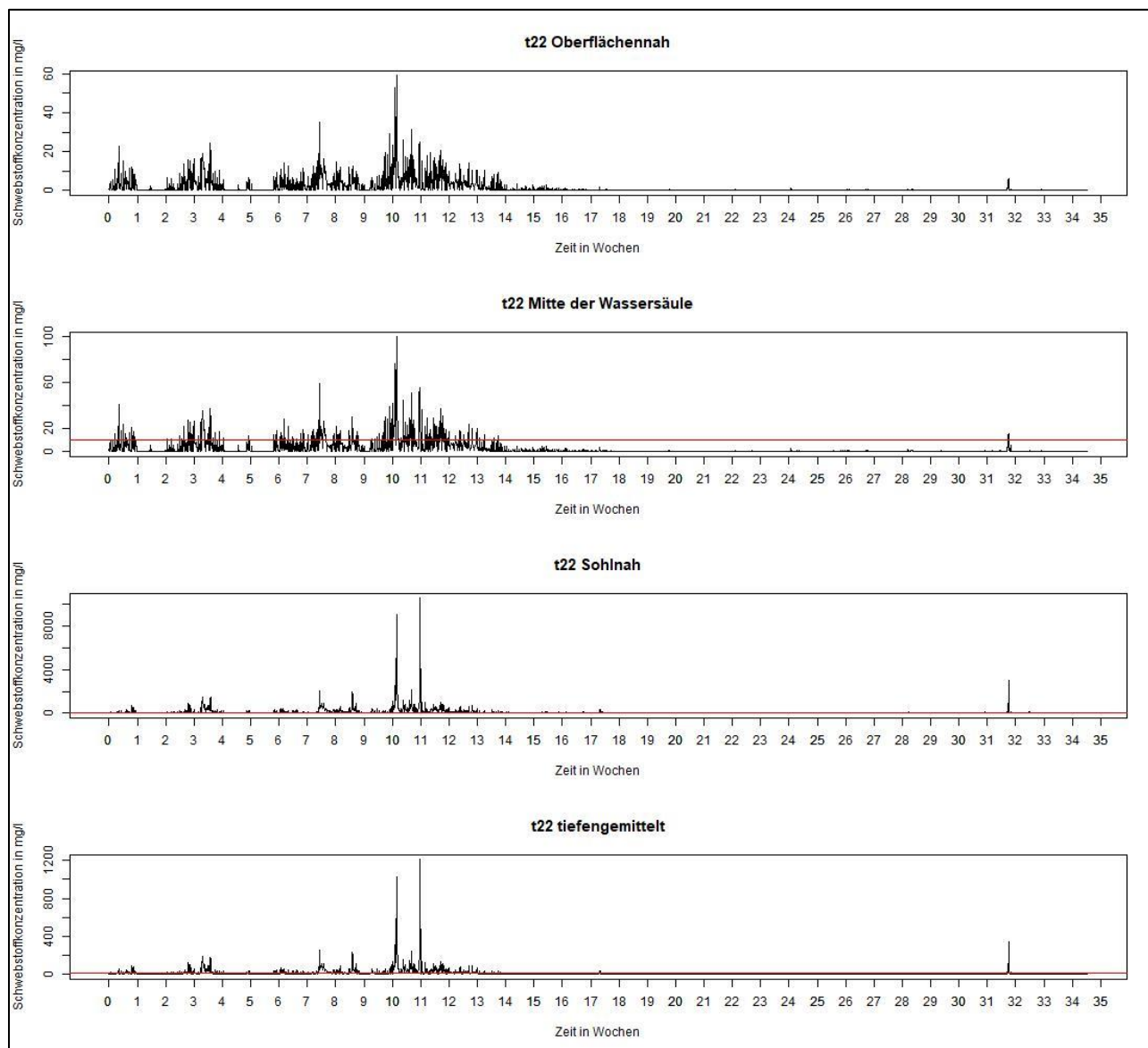
**Abbildung 9: Zeitreihen der Schwebstoffkonzentrationen in mg/l am Beobachtungspunkt t14 während der Nassbaggerung im KWK Fehmarn Sund W aus (Unterlage 51.02)**



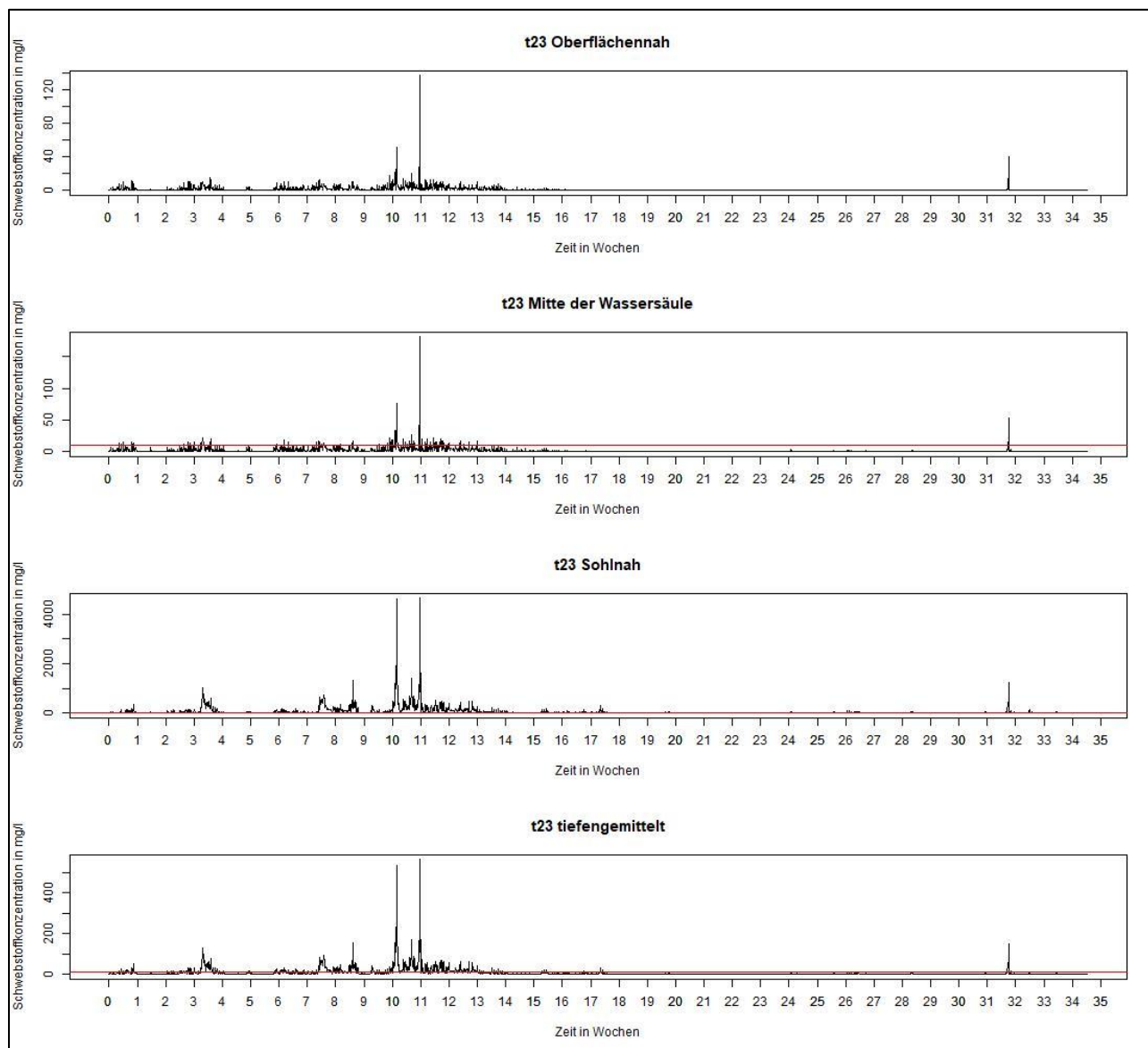
**Abbildung 10: Zeitreihen der Schwebstoffkonzentrationen in mg/l am Beobachtungspunkt t20 (repräsentative Messstelle nach WRRL) während der Nassbaggerung im KWK Fehmarn Sund W aus (Unterlage 51.02)**



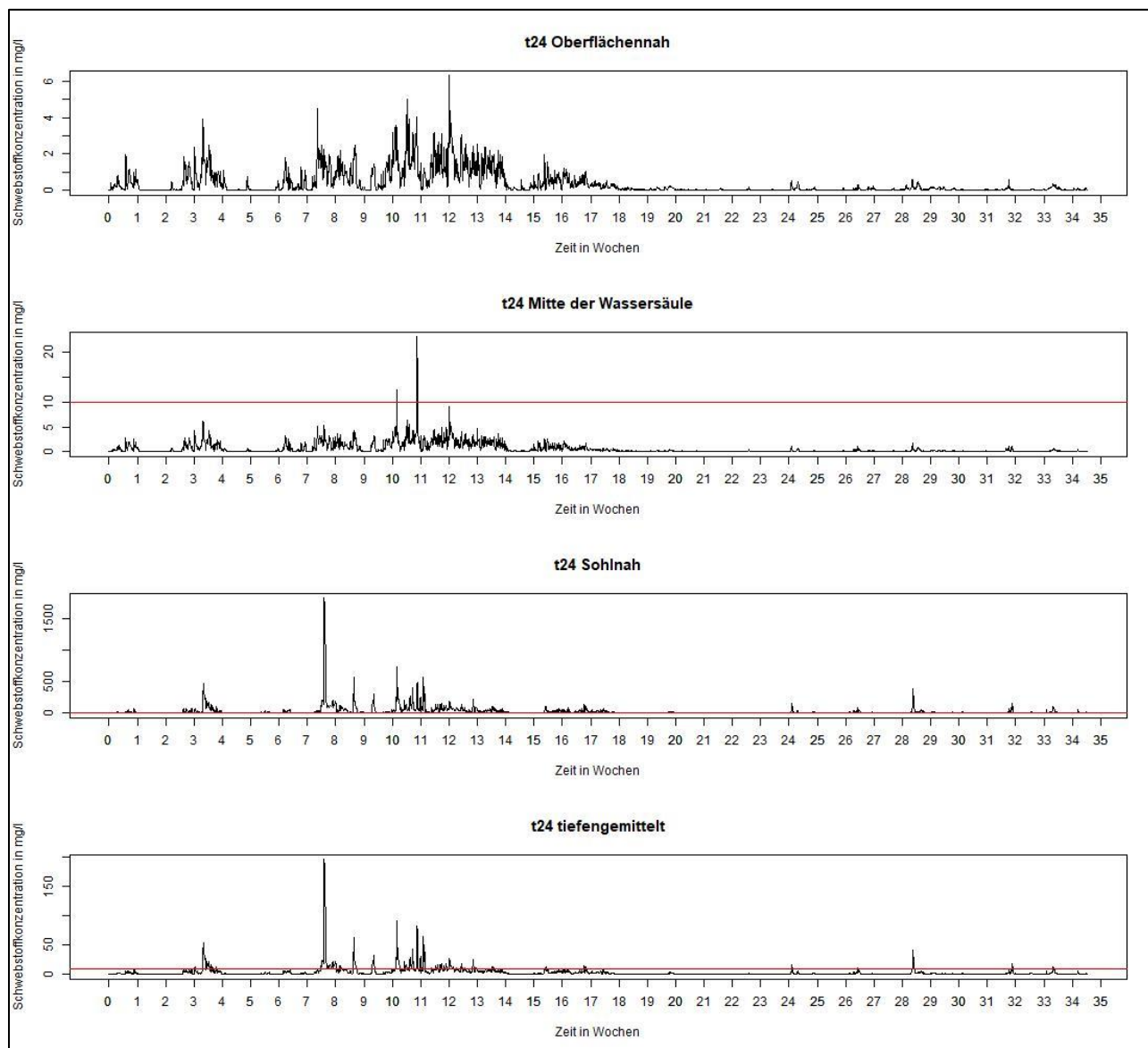
**Abbildung 11: Zeitreihen der Schwebstoffkonzentrationen in mg/l am Beobachtungspunkt t21 während der Nassbaggerung im KWK Fehmarn Sund W aus (Unterlage 51.02)**



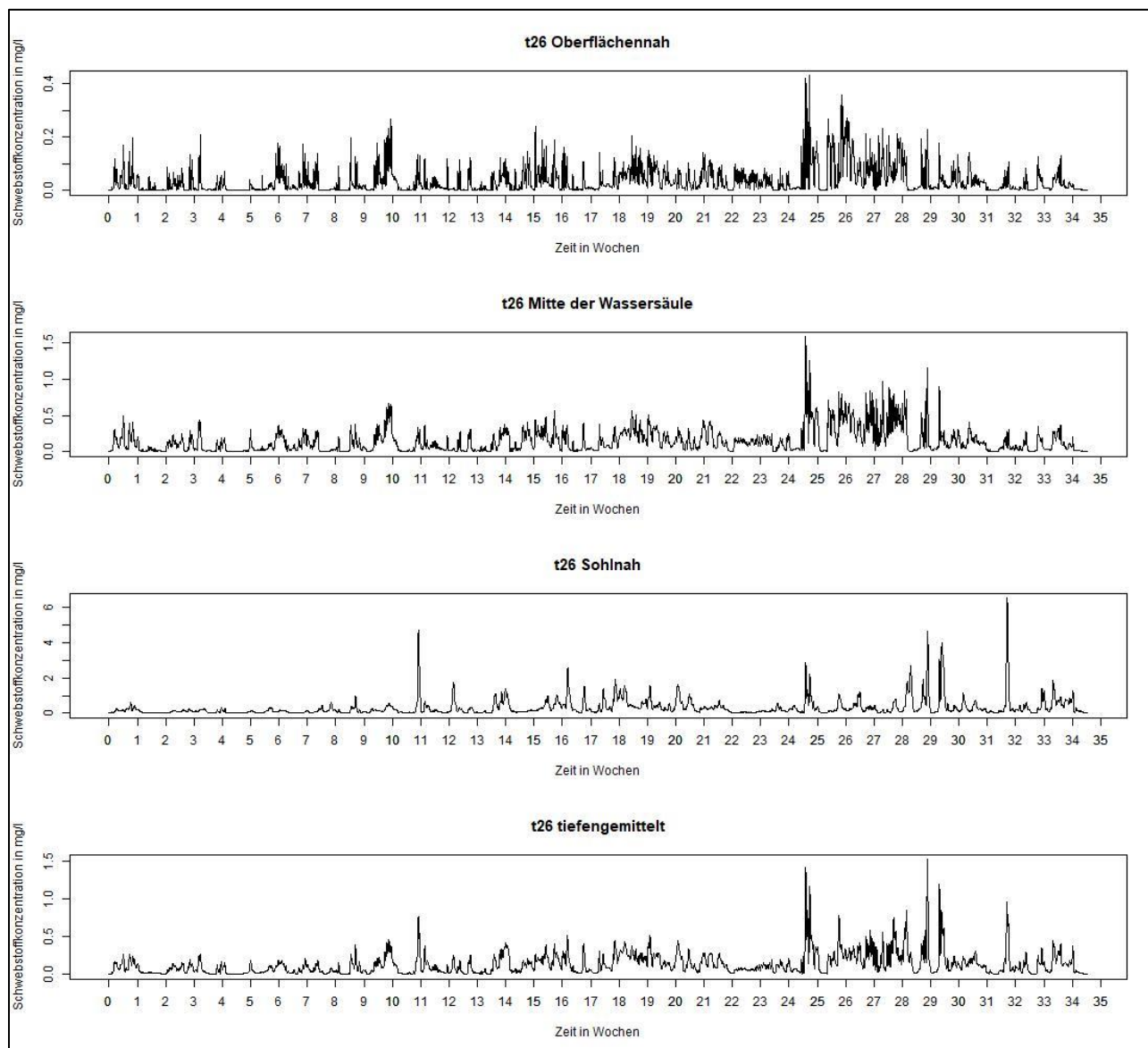
**Abbildung 12: Zeitreihen der Schwebstoffkonzentrationen in mg/l am Beobachtungspunkt t22 während der Nassbaggerung im KWK Fehmarn Sund W aus (Unterlage 51.02)**



**Abbildung 13: Zeitreihen der Schwebstoffkonzentrationen in mg/l am Beobachtungspunkt t23 während der Nassbaggerung im KWK Fehmarn Sund W aus (Unterlage 51.02)**

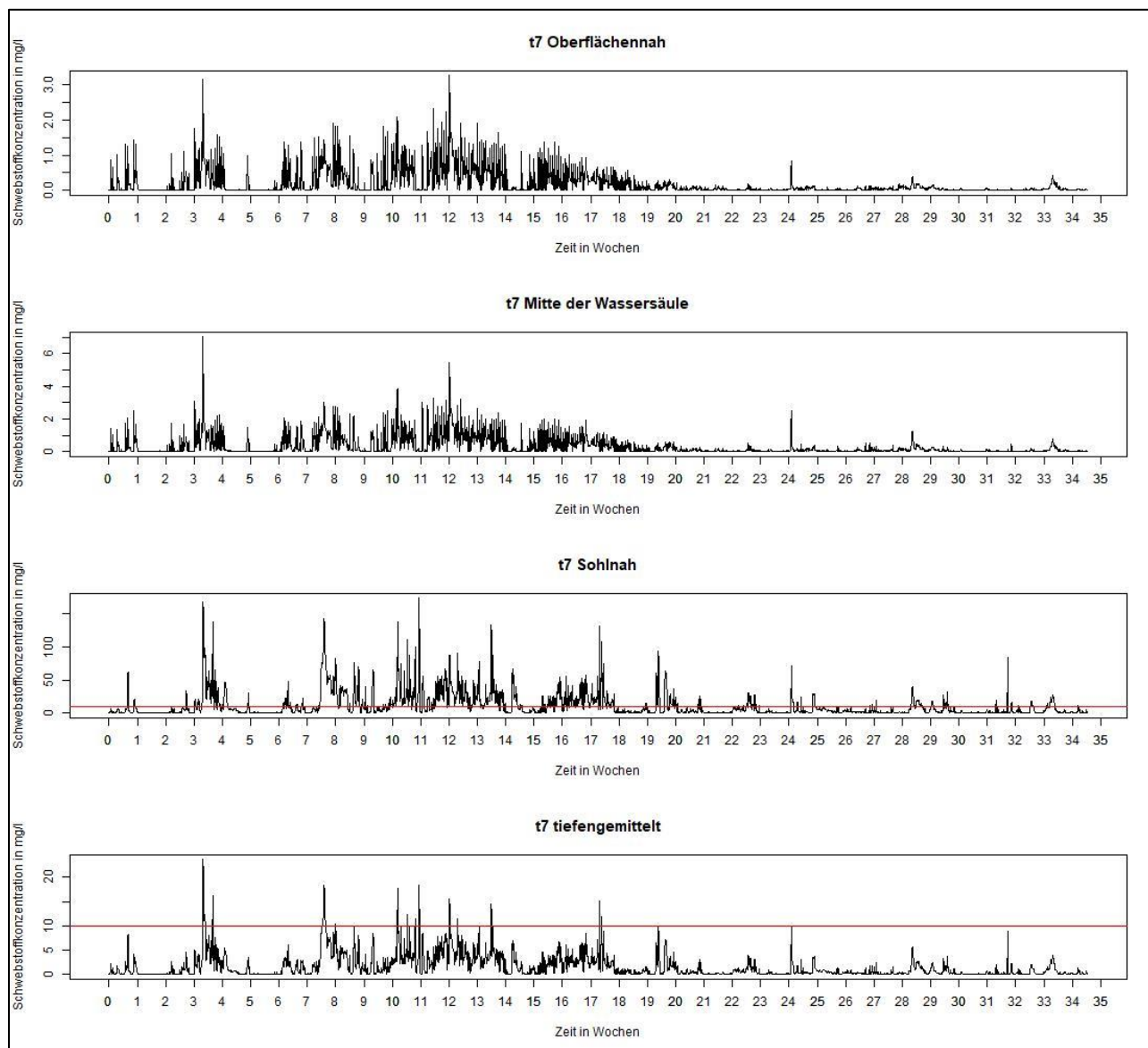


**Abbildung 14: Zeitreihen der Schwebstoffkonzentrationen in mg/l am Beobachtungspunkt t24 während der Nassbaggerung im KWK Fehmarn Sund W aus (Unterlage 51.02)**

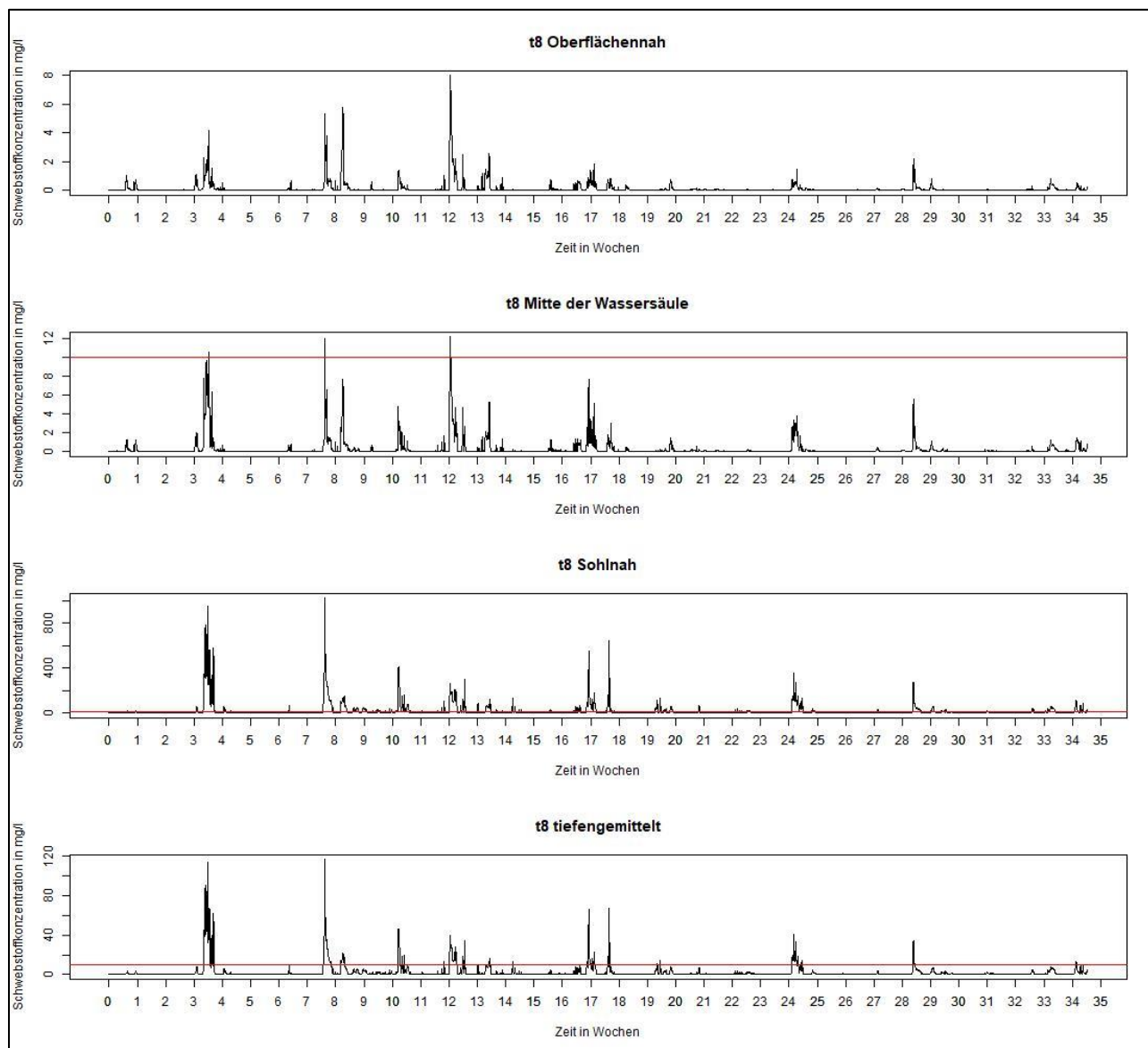


**Abbildung 15: Zeitreihen der Schwebstoffkonzentrationen in mg/l am Beobachtungspunkt t26 während der Nassbaggerung im KWK Fehmarn Sund W aus (Unterlage 51.02)**

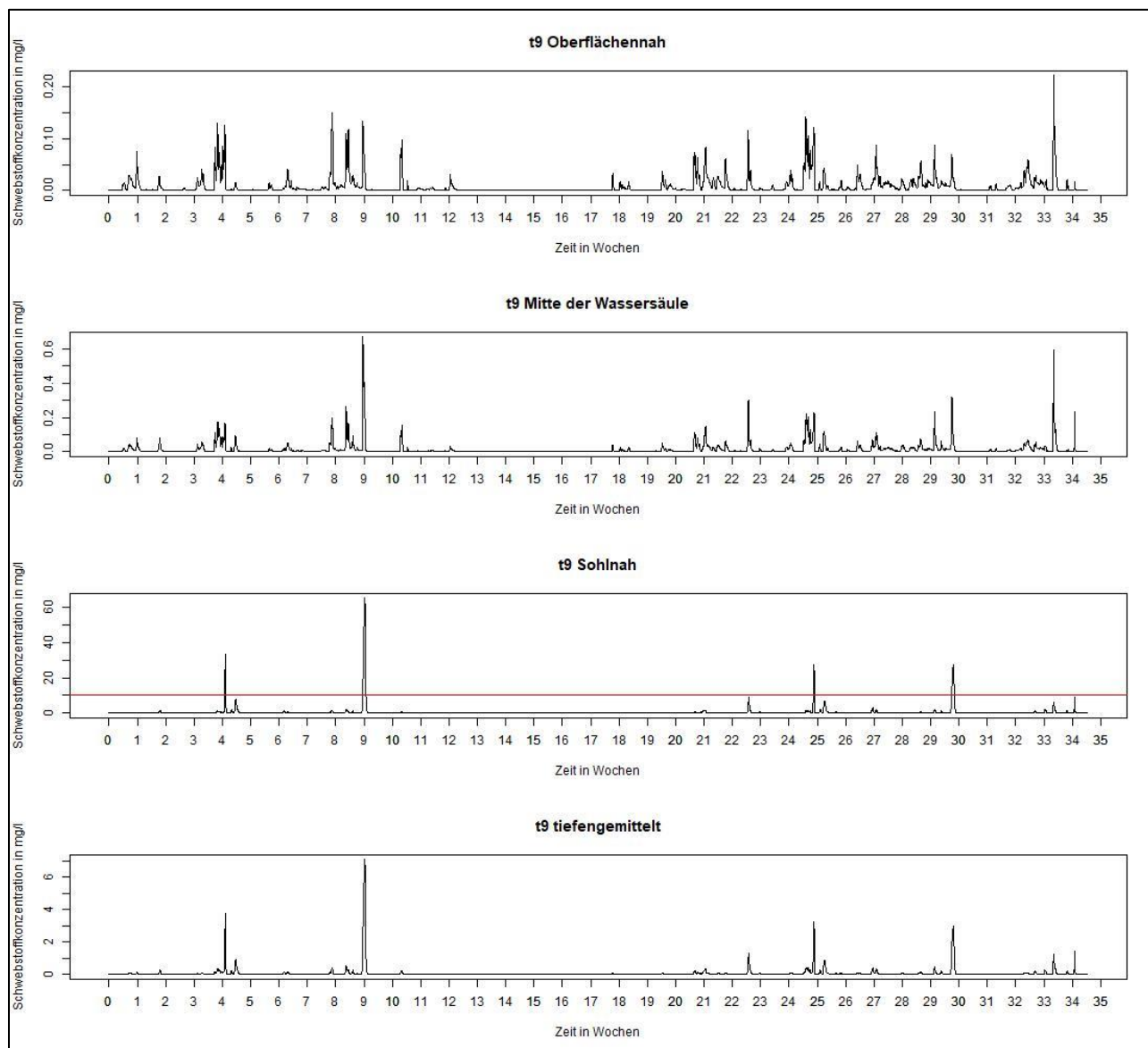




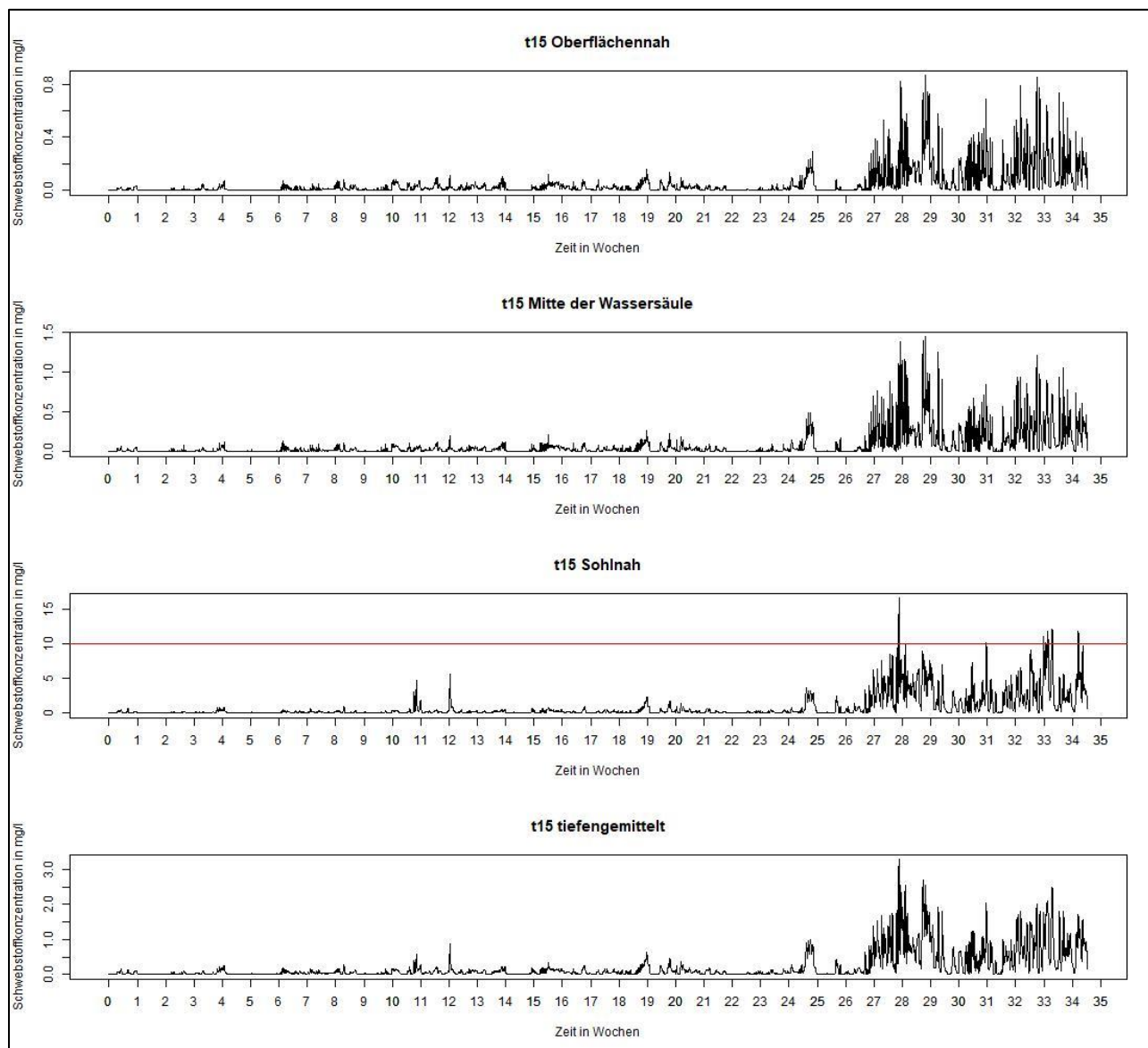
**Abbildung 16: Zeitreihen der Schwebstoffkonzentrationen in mg/l am Beobachtungspunkt t7 während der Nassbaggerung im KWK Fehmarn Sund E aus (Unterlage 51.02)**



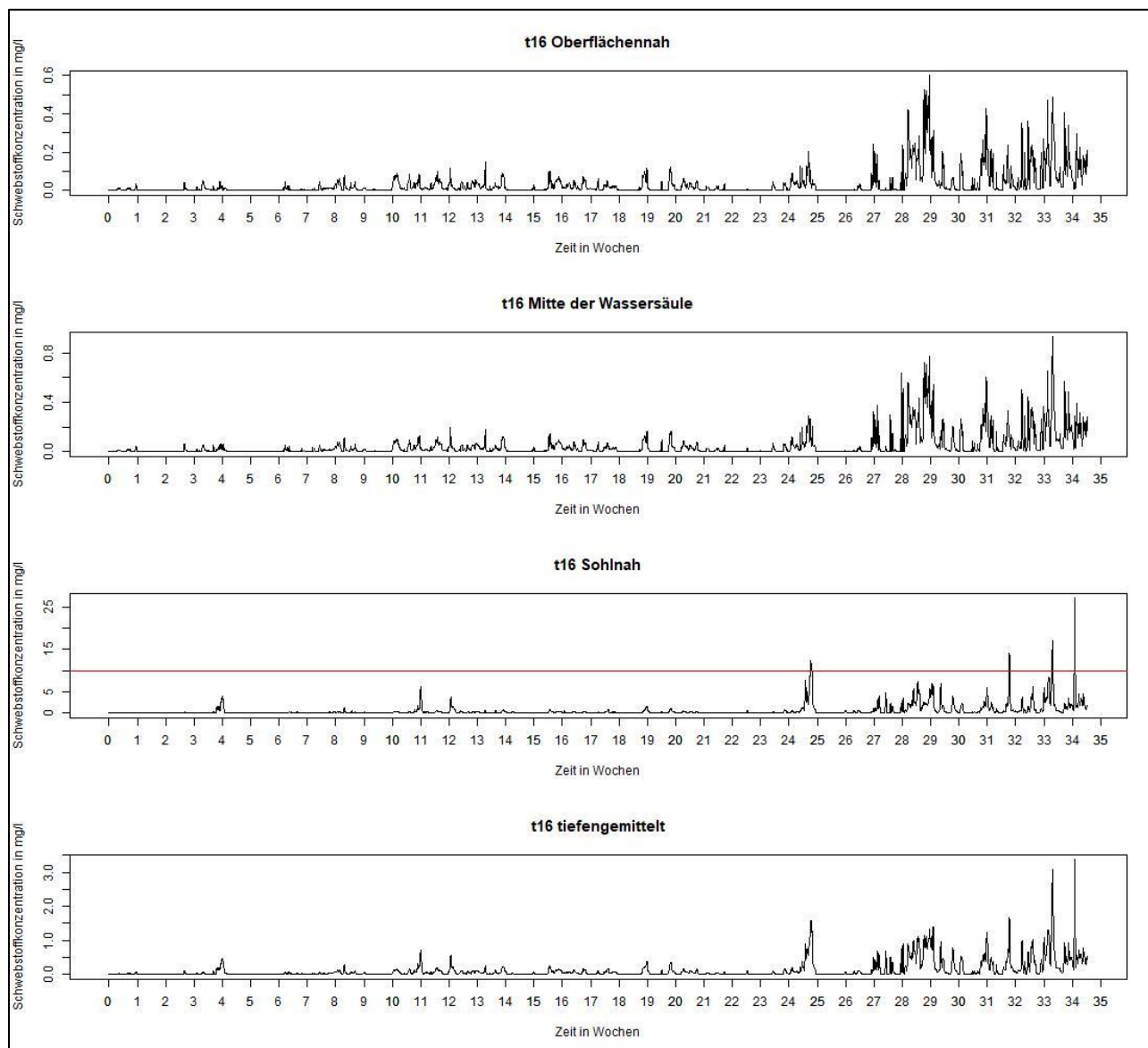
**Abbildung 17: Zeitreihen der Schwebstoffkonzentrationen in mg/l am Beobachtungspunkt t8 während der Nassbaggerung im KWK Fehmarn Sund E aus (Unterlage 51.02)**



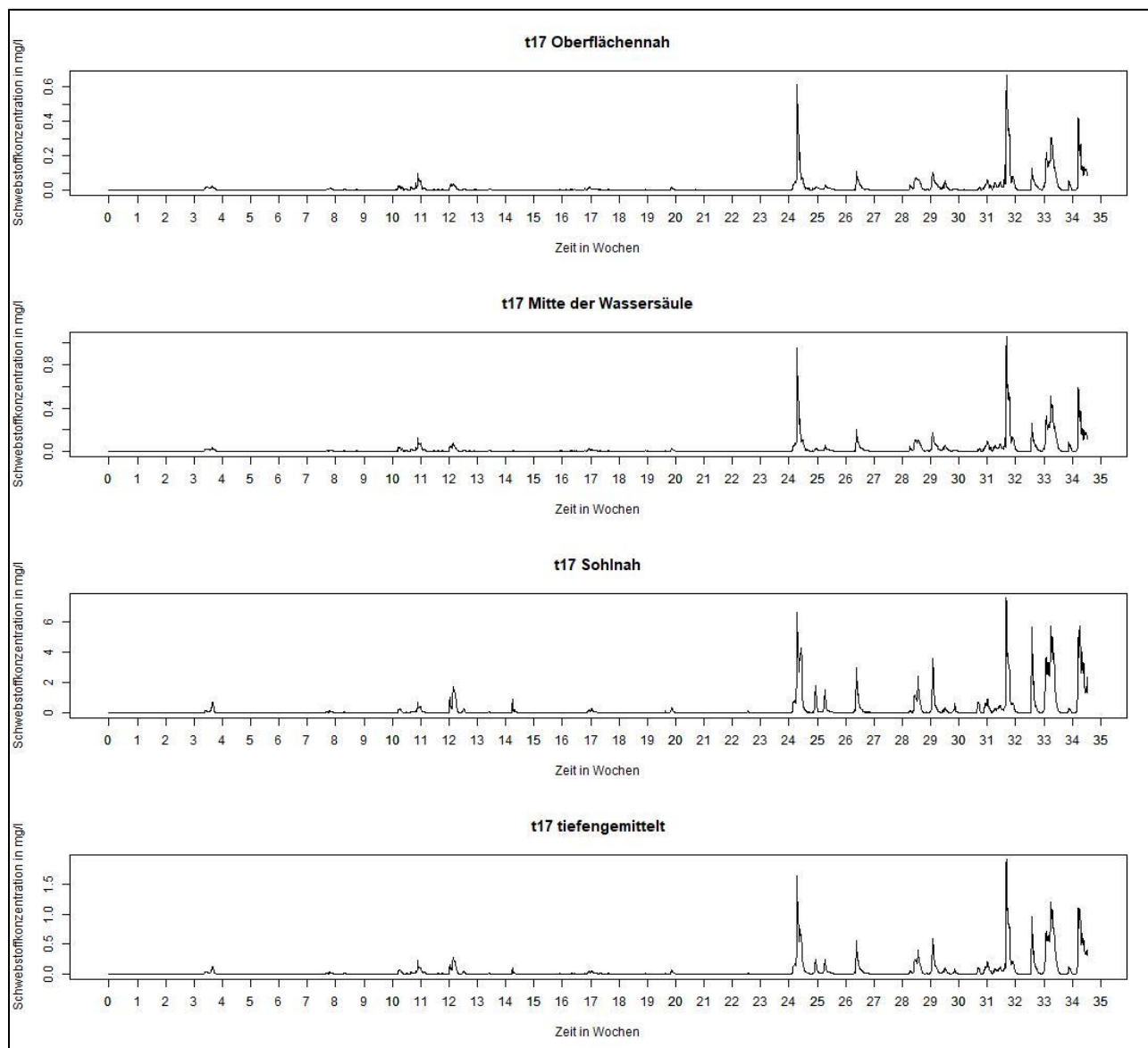
**Abbildung 18: Zeitreihen der Schwebstoffkonzentrationen in mg/l am Beobachtungspunkt t9 während der Nassbaggerung im KWK Fehmarn Sund E aus (Unterlage 51.02)**



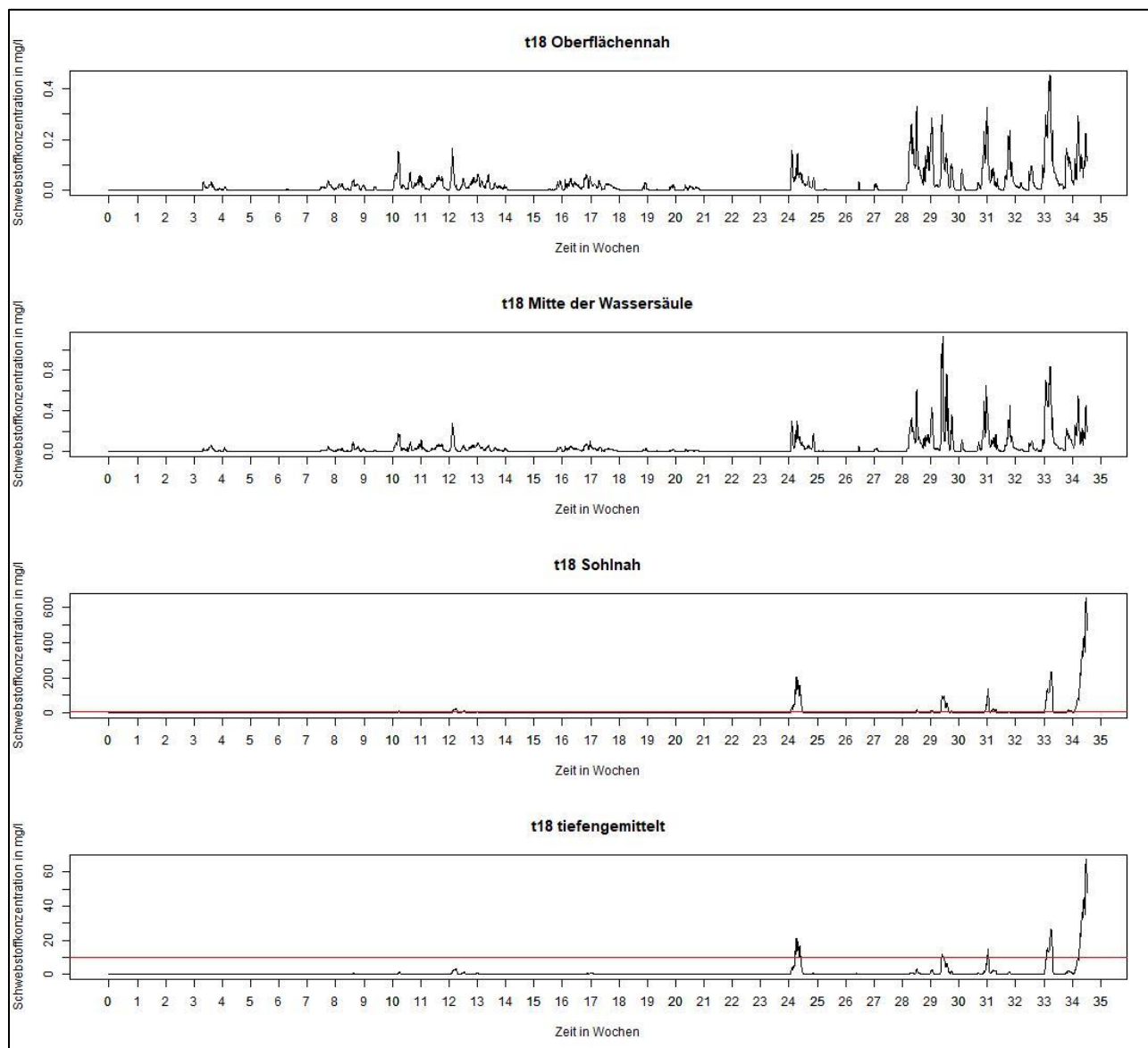
**Abbildung 19: Zeitreihen der Schwebstoffkonzentrationen in mg/l am Beobachtungspunkt t15 während der Nassbaggerung im KWK Fehmarn Sund E aus (Unterlage 51.02)**



**Abbildung 20: Zeitreihen der Schwebstoffkonzentrationen in mg/l am Beobachtungspunkt t16 während der Nassbaggerung im KWK Fehmarn Sund E aus (Unterlage 51.02)**

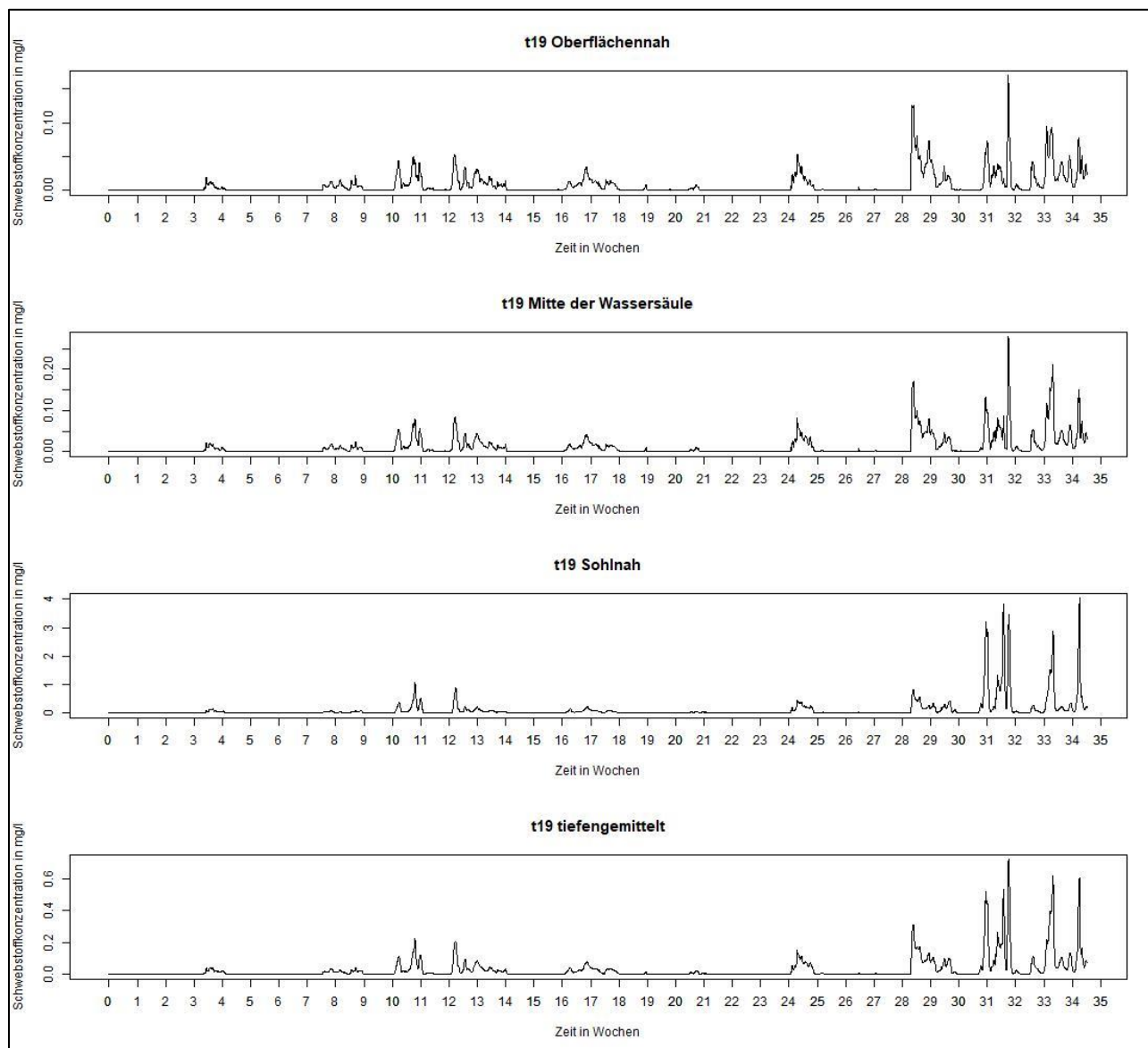


**Abbildung 21: Zeitreihen der Schwebstoffkonzentrationen in mg/l am Beobachtungspunkt t17 während der Nassbaggerung im KWK Fehmarn Sund E aus (Unterlage 51.02)**

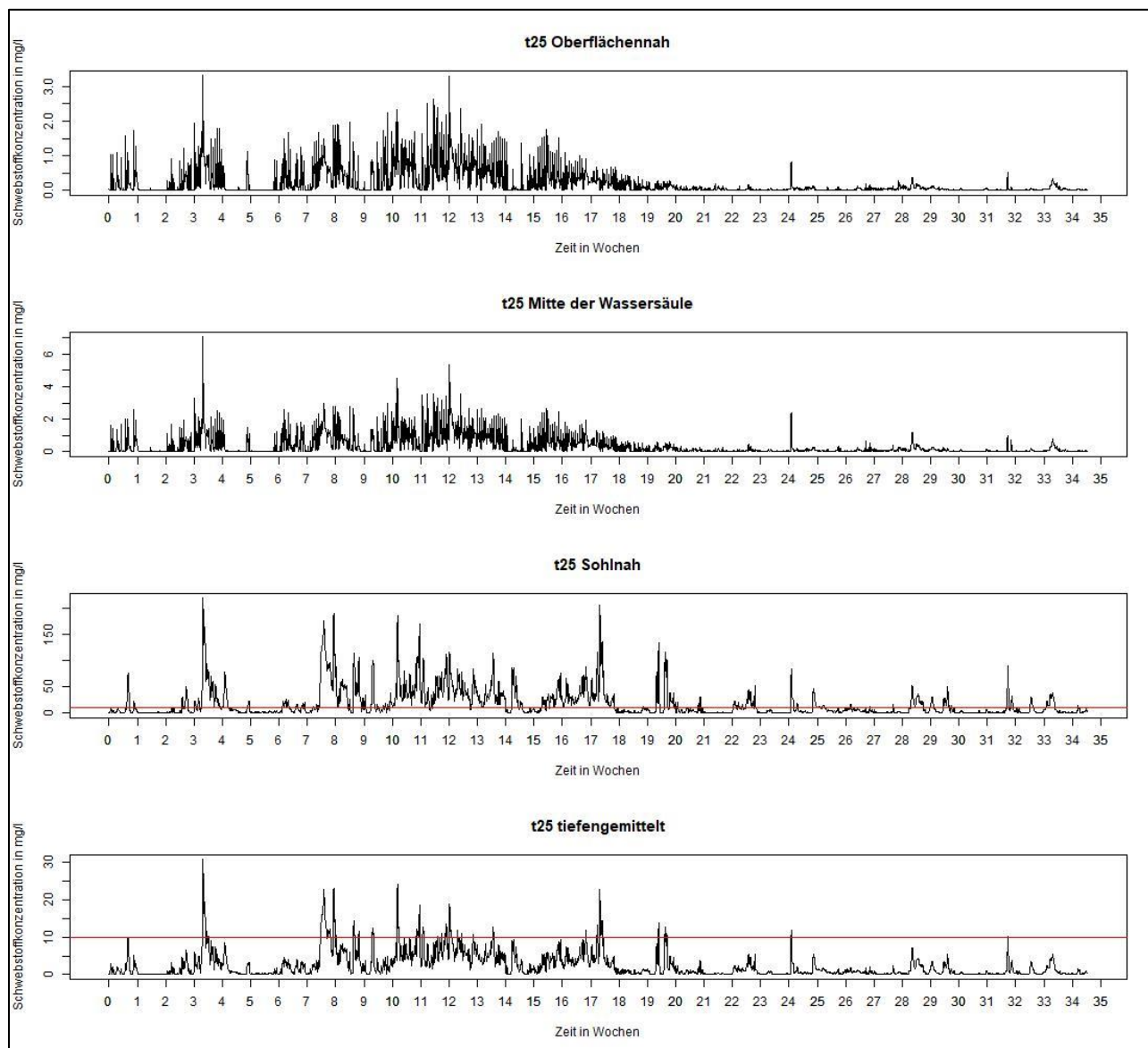


**Abbildung 22: Zeitreihen der Schwebstoffkonzentrationen in mg/l am Beobachtungspunkt t18 während der Nassbaggerung im KWK Fehmarn Sund E aus (Unterlage 51.02)**

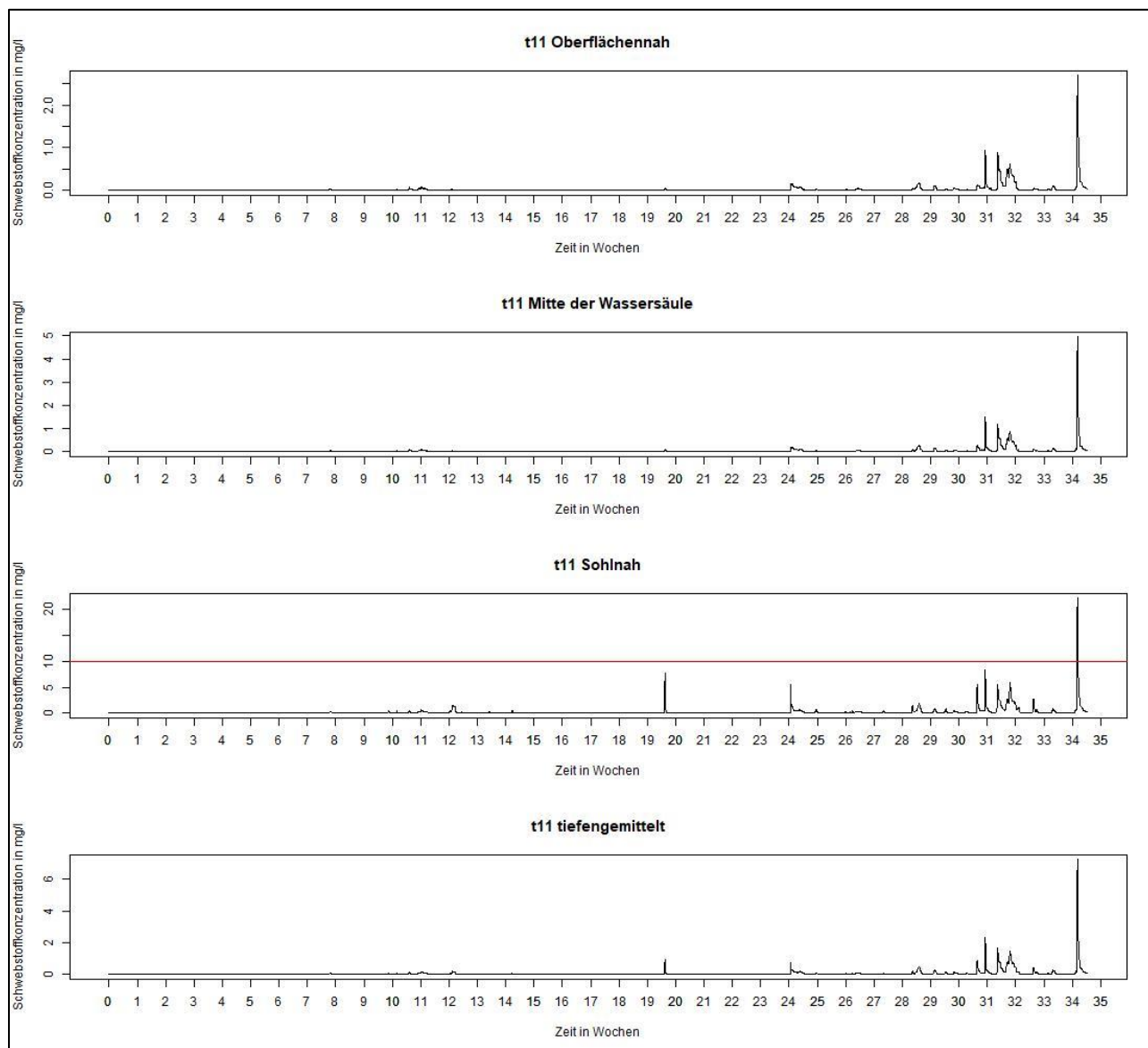




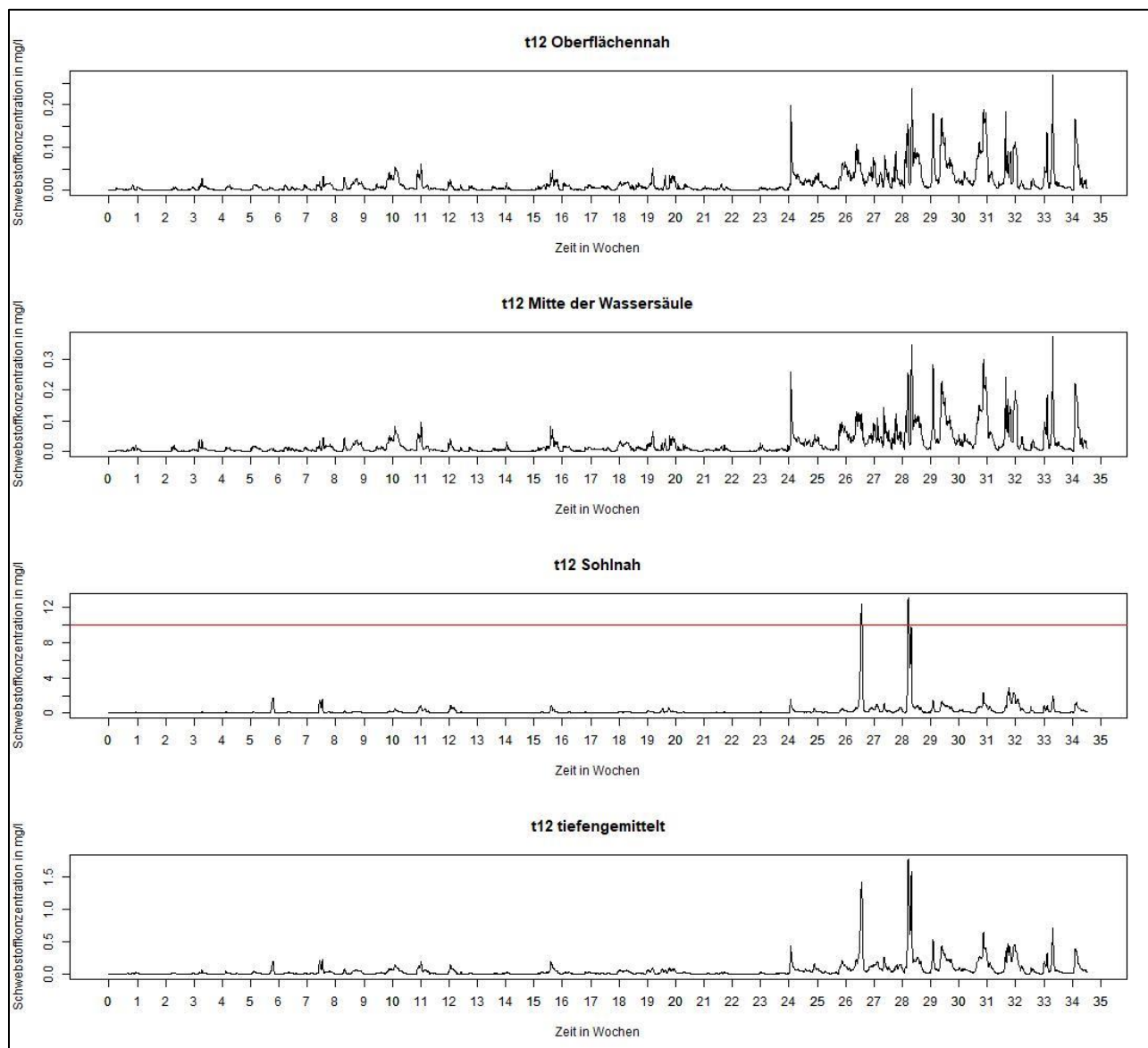
**Abbildung 23: Zeitreihen der Schwebstoffkonzentrationen in mg/l am Beobachtungspunkt t19 während der Nassbaggerung im KWK Fehmarn Sund E aus (Unterlage 51.02)**



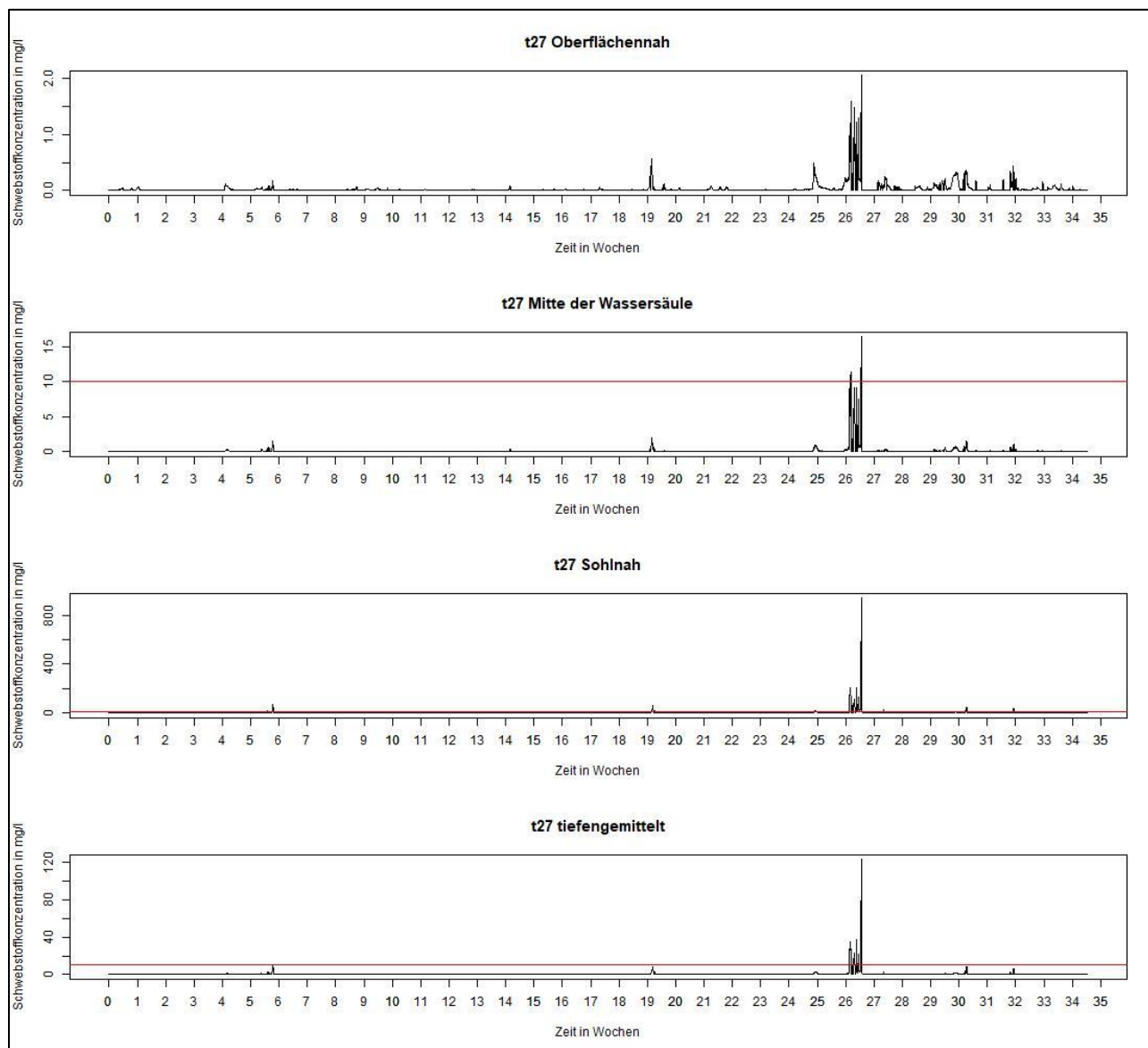
**Abbildung 24: Zeitreihen der Schwebstoffkonzentrationen in mg/l am Beobachtungspunkt t25 während der Nassbaggerung im KWK Fehmarn Sund E aus (Unterlage 51.02)**



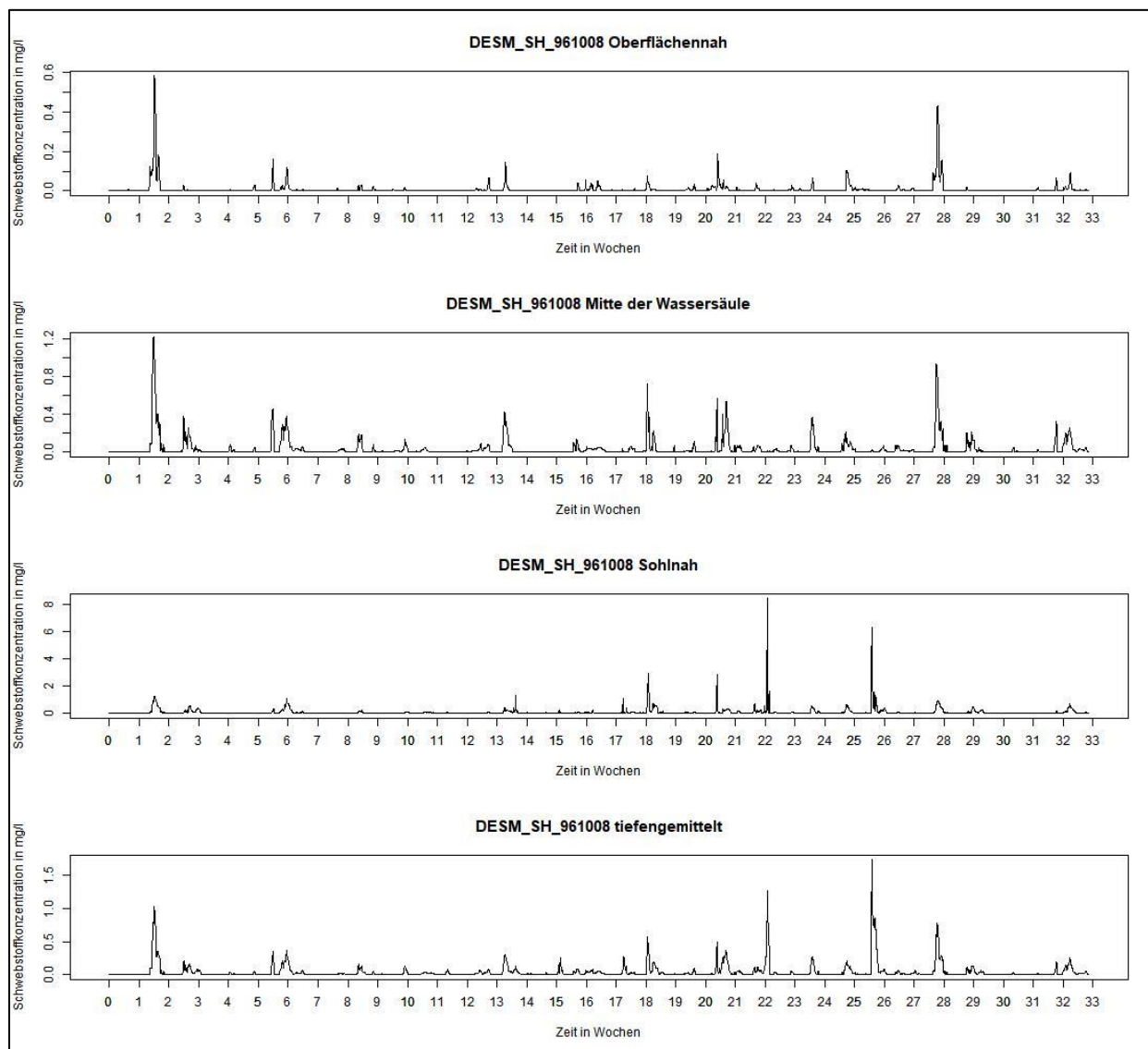
**Abbildung 25: Zeitreihen der Schwebstoffkonzentrationen in mg/l am Beobachtungspunkt t11 während der Nassbaggerung im KWK Orther Bucht aus (Unterlage 51.02)**



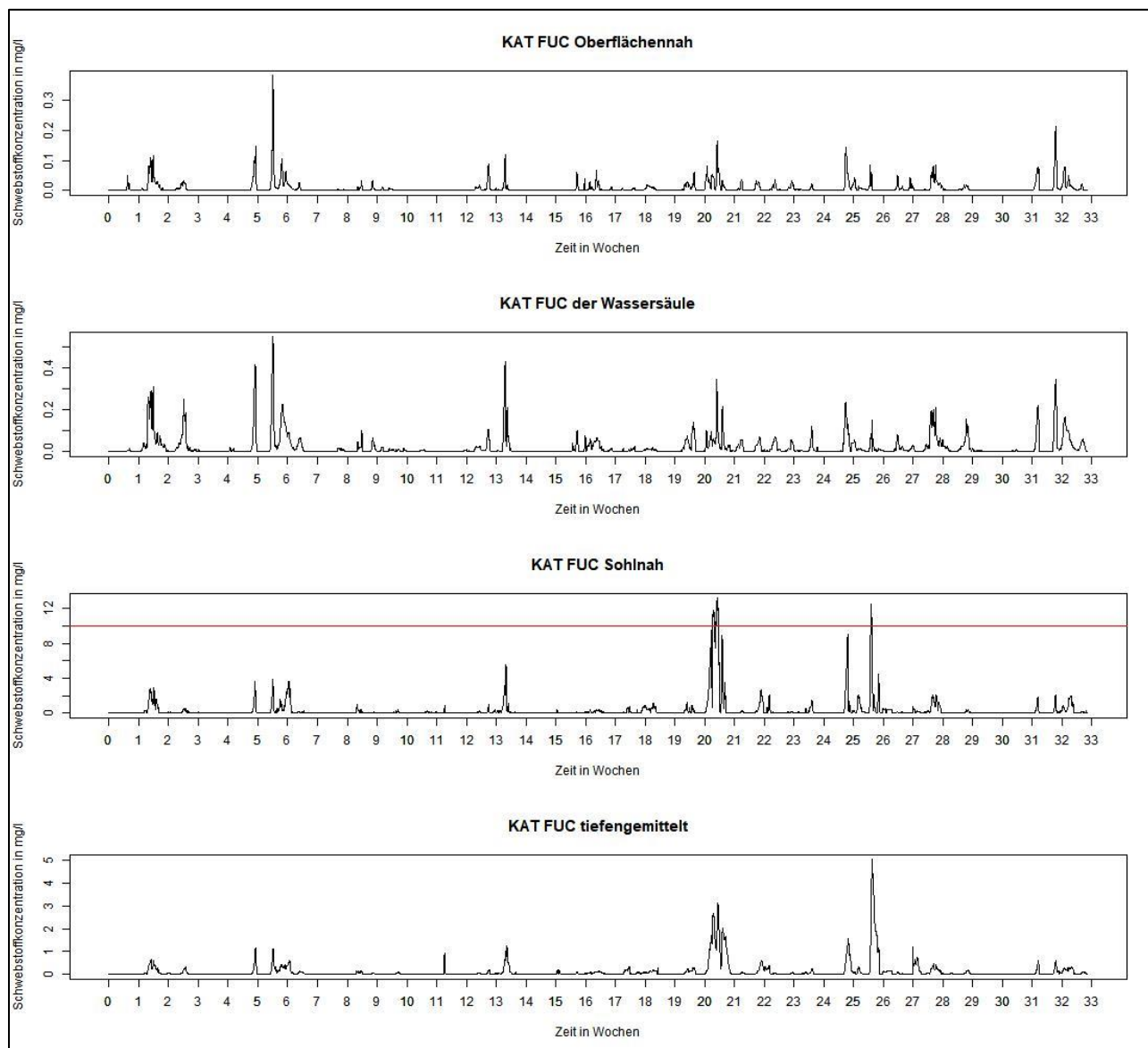
**Abbildung 26: Zeitreihen der Schwebstoffkonzentrationen in mg/l am Beobachtungspunkt t12 während der Nassbaggerung im KWK Orther Bucht aus (Unterlage 51.02)**



**Abbildung 27: Zeitreihen der Schwebstoffkonzentrationen in mg/l am Beobachtungspunkt t27 während der Nassbaggerung im KWK Orther Bucht aus (Unterlage 51.02)**

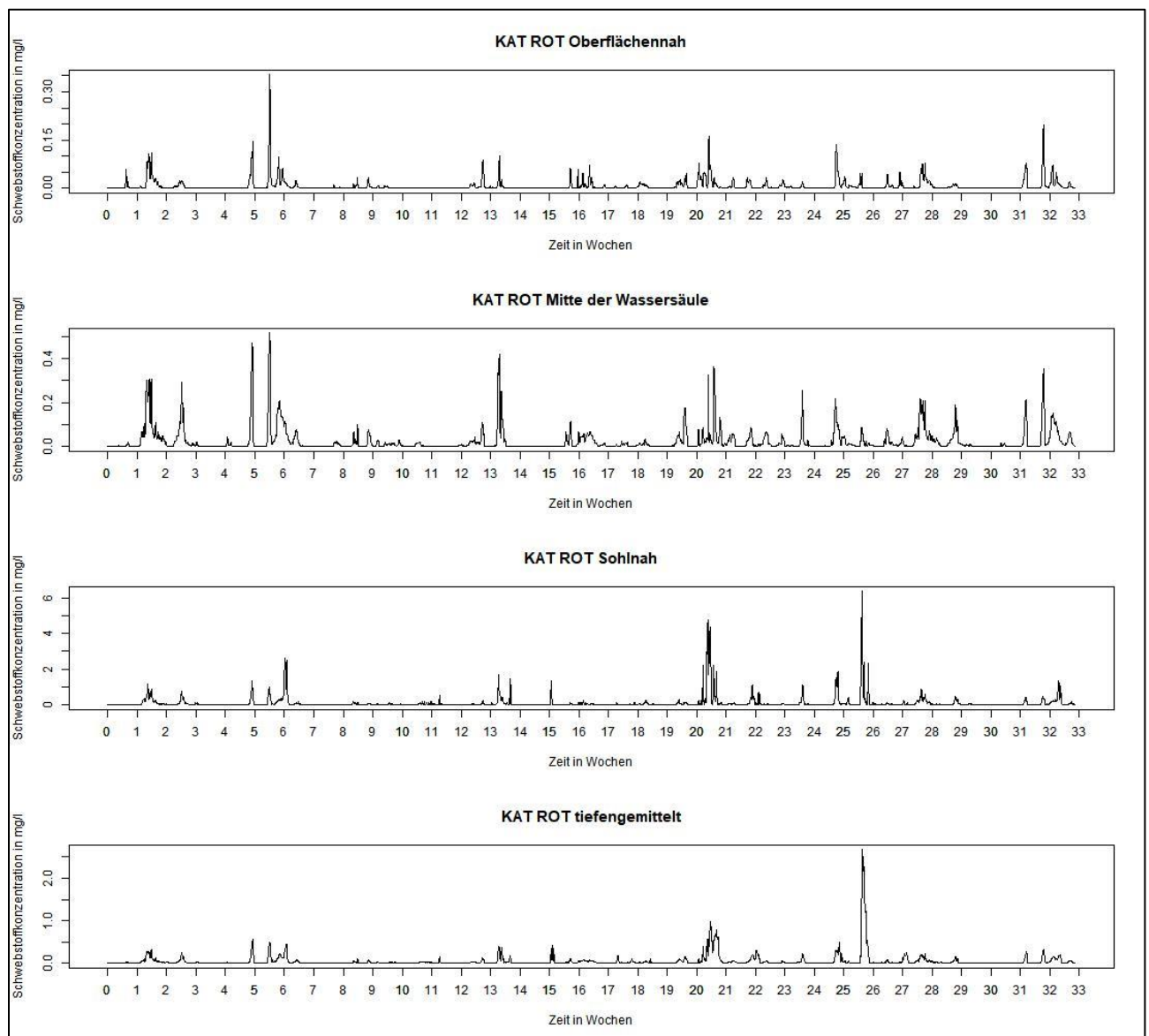


**Abbildung 28: Zeitreihen der Schwebstoffkonzentrationen in mg/l an der repräsentativen Messstelle DESM\_SH\_961008 im KWK Fehmarn Belt E während der Nassbaggergutverbringung aus (Unterlage 51.04)**

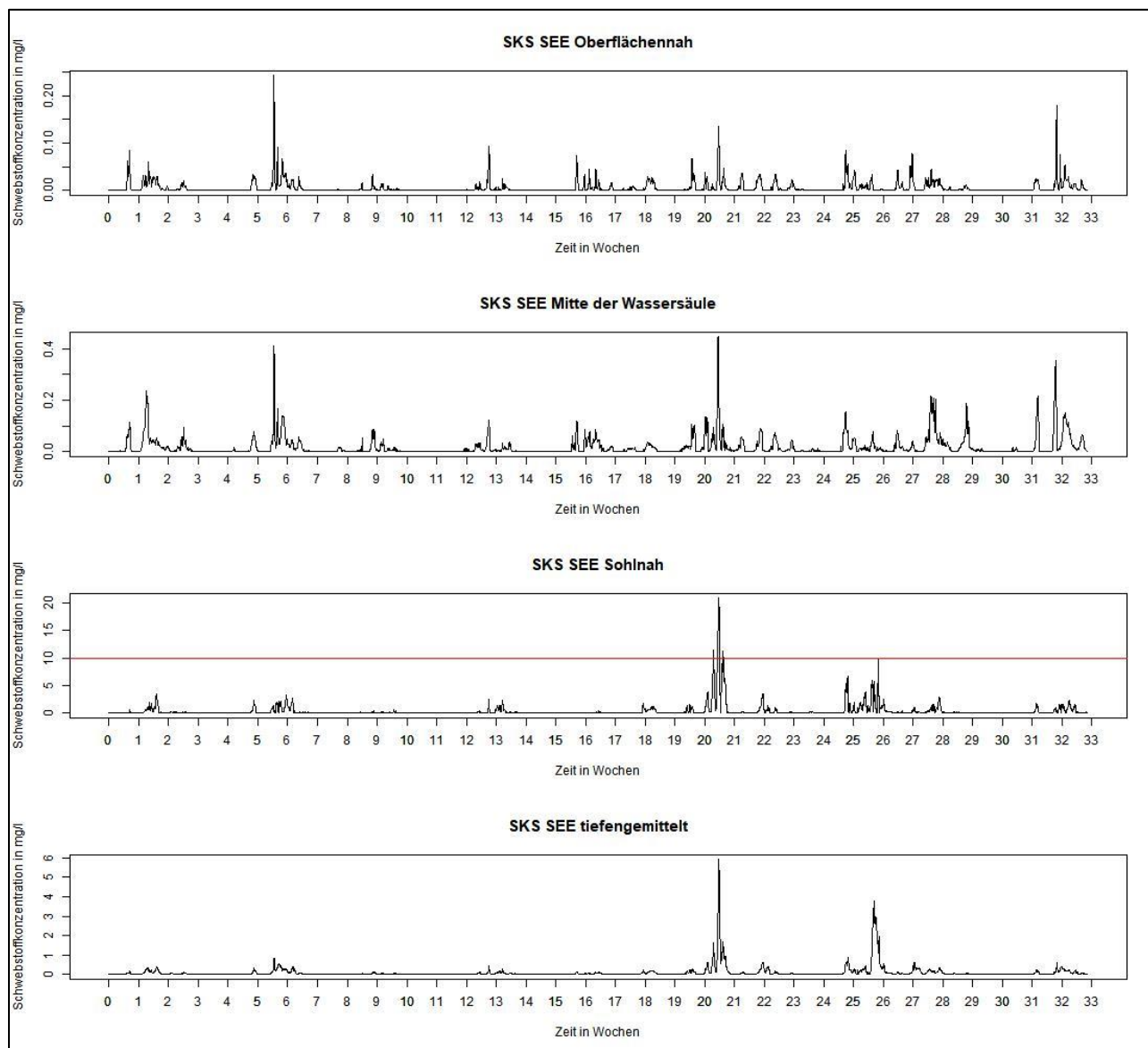


**Abbildung 29: Zeitreihen der Schwebstoffkonzentrationen in mg/l an der Landesmessstelle KAT FUC im KWK Fehmarn Belt E während der Nassbaggergutverbringung aus (Unterlage 51.04)**

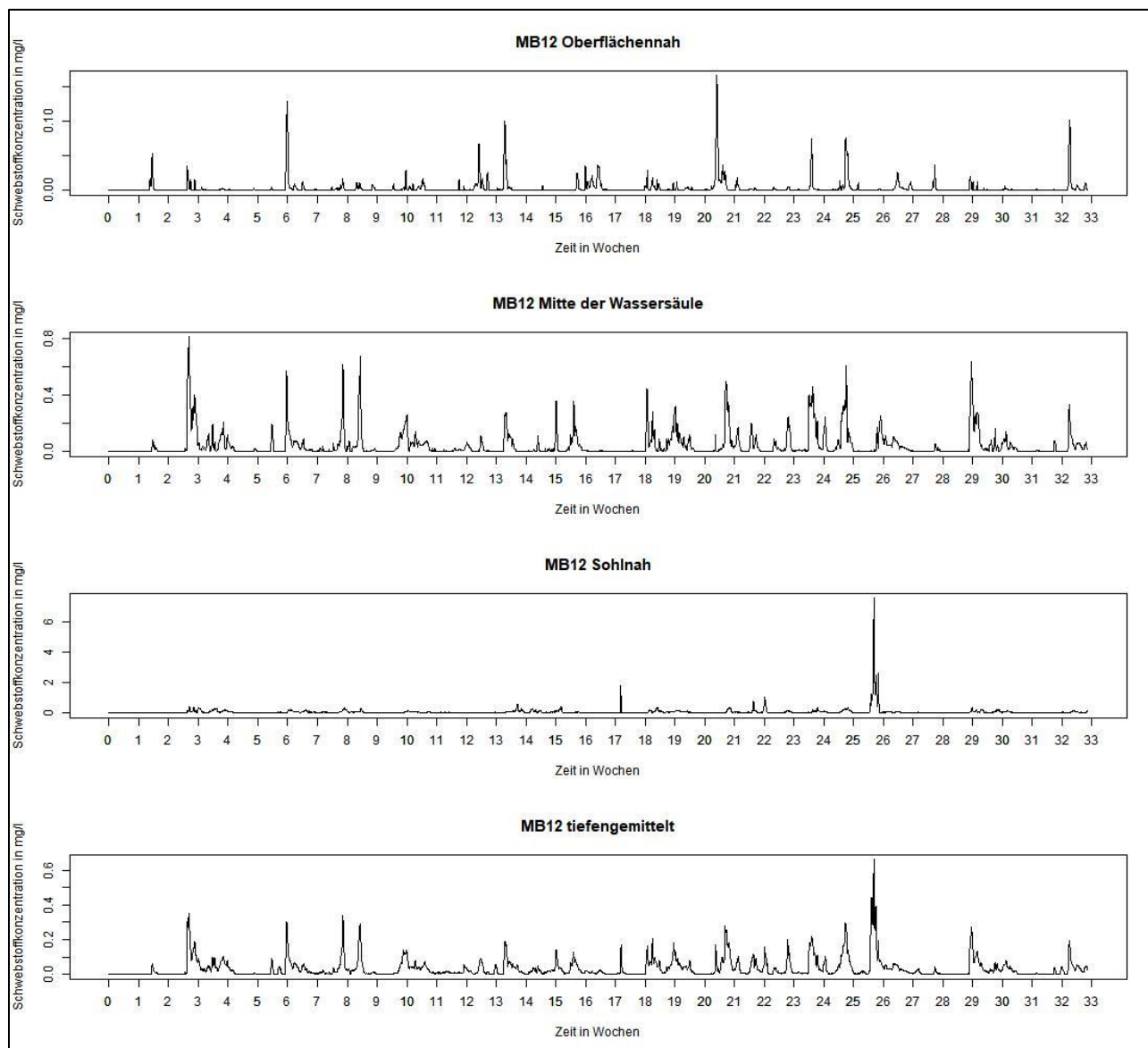




**Abbildung 30: Zeitreihen der Schwebstoffkonzentrationen in mg/l an der Landesmessstelle KAT ROT im KWK Fehmarn Belt E während der Nassbaggergutverbringung aus (Unterlage 51.04)**



**Abbildung 31: Zeitreihen der Schwebstoffkonzentrationen in mg/l an der Landesmessstelle SKS SEE im KWK Fehmarn Belt E während der Nassbaggergutverbringung aus (Unterlage 51.04)**



**Abbildung 32: Zeitreihen der Schwebstoffkonzentrationen in mg/l an der Landesmessstelle MB12 im KWK Fehmarn Belt E während der Nassbaggergutverbringung aus (Unterlage 51.04)**